

DIE

APERIODISCHE BEWEGUNG

GEDÄMPFTER MAGNETE

VON

E. DU BOIS-REYMOND.

[AUS DEM MONATSBERICHT DER KÖNIGLICHEN AKADEMIE  
DER WISSENSCHAFTEN ZU BERLIN.]

BERLIN.

BUCHDRUCKEREI DER KGL. AKADEMIE DER WISSENSCHAFTEN (G. VOGT),  
UNIVERSITÄTSTR. 8.

1870.



# I n h a l t.

	Seite
§. I. Einleitung . . . . .	807 — 809
§. II. Allgemeine Gleichung der Bewegung gedämpfter Magnete, und periodische Bewegung solcher Mag- nete . . . . .	809 — 812
§. III. Aperiodische Bewegung gedämpfter Magnete. . .	812 — 814
§. IV. Übersicht der Bewegungsformen ungedämpfter und gedämpfter Magnete . . . . .	814 — 816
§. V. Aperiodische Bewegung mit Anfangsgeschwindig- keit . . . . .	816 — 820
§. VI. Herleitung der Bedingung für die zum Überschrei- ten des Nullpunktes nöthige Anfangsgeschwindig- keit . . . . .	820 — 827
§. VII. Verhalten aperiodisch sich bewogender Magnete bei kurzer Einwirkung eines Stromes . . . .	827 — 829
§. VIII. Verhalten aperiodisch sich bewogender Magnete bei Ablenkung durch einen beständigen Strom, und bei Stromschwankungen . . . . .	829 — 830
§. IX. Sonstige Combinationen von Lage und Geschwin- digkeit des Magnetes und von ihn treffenden Kräften	830 — 832
§. X. Nähere Bestimmung der experimentellen Bedin- gungen, unter denen die Bewegung gedämpfter Magnete aperiodisch wird . . . . .	832 — 838
§. XI. Die Beruhigungszeit des gedämpften Magnetes in ihrer Abhängigkeit von dessen verschiedenen, im Vorigen betrachteten Zuständen . . . . .	838 — 840
§. XII. Bestätigung der für den Fall einer Anfangsge- schwindigkeit theoretisch gefundenen Bewegungs- gesetze aperiodischer Magnete . . . . .	840 — 850
§. XIII. Vorzüge der Beobachtung an aperiodischen Mag- neten . . . . .	850 — 852

# Inhalt

§. I.	Einleitung . . . . .	807 — 808
§. II.	Allgemeine Gleichung der Bewegung rotirender Magnet und periodische Bewegung solcher Mag- nete . . . . .	808 — 812
§. III.	Spezielle Bewegung rotirender Magnete . . . . .	812 — 814
§. IV.	Uebersicht der Bewegungsgesetze rotirender und rotirender Magnete . . . . .	814 — 816
§. V.	Spezielle Bewegung mit Anfangsgeschwindigkeit von . . . . .	816 — 820
§. VI.	Uebersicht der Bewegung für die zum Ueberset- zen des Nullpunktes nöthige Anfangsgeschwindigkeit von . . . . .	820 — 827
§. VII.	Verhalten speziell sich bewegender Magnete bei kurzer Einwirkung eines Stromes . . . . .	827 — 830
§. VIII.	Verhalten speziell sich bewegender Magnete bei Abkennung durch einen beständigen Strom und bei Stromschwankungen . . . . .	830 — 836
§. IX.	Statische Constanten von Lage und Geschwin- digkeit des Magneten und von ihm wirkenden Kräften Nähere Bestimmung der experimentellen Be- ziehungen, unter denen die Bewegung rotirender Magnete speziell sich wird . . . . .	832 — 838
§. X.	Die Beziehungswerte der rotirenden Magnete in ihren Abhängigkeit von denselben veränderlichen, im Vorigen betrachteten Zuständen . . . . .	838 — 840
§. XII.	Bestimmung der für den Fall einer Anfangs- geschwindigkeit theoretisch zu berechnenden Bewegungs- gesetze speziell sich bewegender Magnete . . . . .	840 — 850
§. XIII.	Vorsätze der Beobachtung an speziell sich be- wegenden . . . . .	850 — 852

## 5. August 1869. Gesamtsitzung der Akademie.

Hr. du Bois-Reymond las über die aperiodische Bewegung gedämpfter Magnete.

### §. I. Einleitung.

In seiner „Anleitung zur Bestimmung der Schwingungsdauer einer Magnetnadel“<sup>1)</sup> stellt Gauss für die Bewegung eines in dämpfender Umgebung schwingenden Magnetes die Fundamentalgleichung auf

$$0 = \frac{d^2 x}{dt^2} + n^2 (x - p) + 2\varepsilon \frac{dx}{dt}, \quad \dots \quad (\text{I})$$

wo  $x$  den dem Stand des Magnetes zur Zeit  $t$ ,  $p$  den seinem Ruhestand entsprechenden Scalentheil,  $n^2$  die magnetische Richtkraft (für die Einheit der Ablenkung) und  $2\varepsilon$  die verzögernde Kraft der Dämpfung (für die Einheit der Geschwindigkeit), beide mit dem Trägheitsmoment des Magnetes dividirt, bedeuten. Das Integral dieser Gleichung giebt Gauss unter der Form

$$x = p + A e^{-\varepsilon t} \sin \{ \sqrt{n^2 - \varepsilon^2} \cdot (t - B) \}, \quad \dots \quad (\text{II})$$

wo  $e$  die Basis der natürlichen Logarithmen ist,  $A$  und  $B$  die beiden durch die Integration eingeführten willkürlichen Constanten vorstellen. Ohne die verzögernde Kraft der Dämpfung ist nach Gauss das Integral

$$x = p + A \cdot \sin \{ n (t - B) \} \quad \dots \quad (\text{III})$$

<sup>1)</sup> Resultate aus den Beobachtungen des magnetischen Vereins im Jahre 1837. Göttingen 1838. S. 58; — C. F. Gauss Werke u. s. w. Göttingen 1867. 4<sup>o</sup>. Bd. V. S. 374.

Nachdem Gauss aus Gleichung (I) die Theorie der Schwingungsbewegung gedämpfter Magnete hergeleitet hat, sagt er: „Bei allem, was bisher entwickelt ist, liegt die Voraussetzung zum Grunde, daß  $\varepsilon$  kleiner sei als  $n$ ; im entgegengesetzten Fall nimmt das Integral der Fundamentalgleichung eine andere Form an. Man erhält nämlich anstatt des Gliedes  $Ae^{-\varepsilon t} \sin \{ \sqrt{n^2 - \varepsilon^2} \cdot (t - B) \}$ , in dem Fall, wo  $\varepsilon$  größer ist als  $n$ , zwei Glieder von der Form

$$Ae^{-(\varepsilon + \sqrt{\varepsilon^2 - n^2})t} + Be^{-(\varepsilon - \sqrt{\varepsilon^2 - n^2})t} \quad . \quad . \quad (IV)$$

„und in dem Fall, wo  $\varepsilon = n$  ist, von dieser

$$(A + Bt) e^{-\varepsilon t} \quad . \quad . \quad . \quad . \quad . \quad (V)$$

„In beiden Fällen findet also in der Bewegung gar nichts periodisches mehr Statt, sondern der Stand nähert sich asymptotisch dem Rubestande. Für unsern Dämpfer ist  $\frac{\varepsilon}{n} = 0,22152$ , und es müßte also ein mehr als  $4\frac{1}{2}$ mal stärker wirkender Dämpfer angewandt werden, um solchen Erfolg hervorzu-  
bringen. Offenbar aber würde es dazu nicht hinreichend sein, die Metallmenge nur in demselben Verhältniß zu vergrößern, in sofern diese Vergrößerung nach außen angebracht werden müßte, und die äußern Schichten des Metallrahmens vergleichungsweise weniger zur Inductionswirkung beitragen als die innern. Allein es würde nicht einmal anzurathen sein, eine Dämpfung von einer solchen Stärke anzuwenden, daß die Bewegung aufhörte periodisch zu sein, theils weil, sobald  $\varepsilon$  den Grenzwert  $n$  überschreitet, die Annäherung an den Rubestand wieder langsamer geschieht, theils weil man dann den wesentlichen Vortheil verlöre, aus zwei beliebigen, um  $T_1$  — die Schwingungsdauer des gedämpften Magnetes — „von einander entfernten Aufzeichnungen den Rubestand auf eine bequeme Art berechnen zu können.“

So weit Gauss. Er hat den aperiodischen oder schwingungslosen Zustand gedämpfter Magnete, wie man ihn nennen kann, mit geistigem Auge gesehen, ohne ihn wirklich zu beobachten, und seine Andeutungen darüber sind meines Wissens mehr als dreißig Jahre unbeachtet geblieben, obschon

sie, wie sich zeigen wird, den Keim einer interessanten Theorie und, Gauss Meinung zuwider, eines praktisch wichtigen Verfahrens enthielten. Ich habe gefunden, daß jener Zustand sich leicht verwirklichen läßt; und noch Jedem, der von der aperiodischen Bewegung meiner Bussolspiegel Zeuge war, sprang der Vortheil in die Augen, der daraus bei vielen Arten galvanometrischer Versuche erwachsen müsse.

Da die Darstellung, deren sich Gauss im Obigen bedient, den Punkt, auf den es hier ankommt, nicht mit voller Klarheit hervortreten läßt, so wird es angemessen sein, die Theorie der aperiodischen Bewegung gedämpfter Magnete zunächst etwas ausführlicher zu entwickeln.

## §. II. Allgemeine Gleichung der Bewegung gedämpfter Magnete, und periodische Bewegung solcher Magnete.

Der Einfachheit halber nehmen wir an, daß die Ruhelage des Magnetes dem Nullpunkt der Theilung entspreche, also  $p = 0$  sei. Indem man sonst die Gauss'schen Bezeichnungen beibehält, aber zur Abkürzung einen der beiden Werthe von

$$\sqrt{\varepsilon^2 - n^2} = r$$

setzt, erhält man als allgemeines vollständiges Integral der Differentialgleichung (I) die Gleichung

$$x = e^{-rt} (Ae^{rt} + Be^{rt}), \dots \dots \dots (VI)$$

deren rechte Seite mit (IV) identisch ist.

Zur Bestimmung der Constanten  $A$  und  $B$  dienen Annahmen über Anfangslage und Anfangsgeschwindigkeit des Magnetes. Denken wir uns den Magnet durch eine äußere Kraft, z. B. durch einen beständigen elektrischen Strom, in der Ablenkung  $\xi$  gehalten, die aber nicht größer sei, als daß nicht die Proportionalität zwischen Ablenkung und Richtkraft noch angenommen werden dürfe, und die Dämpfung merklich den gleichen Werth behalte. Im Augenblick  $t = 0$  werde die Kette geöffnet, und der Magnet gleichsam seiner Ruhelage zu fallen gelassen. Für  $t = 0$  haben wir dann  $x = \xi$  und  $\frac{dx}{dt} = 0$ . Man findet

$$A = - \frac{\xi (\varepsilon - r)}{2r},$$

$$B = + \frac{\xi (\varepsilon + r)}{2r},$$

und Gleichung (VI) wird

$$x = \frac{\xi}{2r} \cdot e^{-\varepsilon t} \{ (\varepsilon + r) e^{rt} - (\varepsilon - r) e^{-rt} \} \quad . \quad . \quad (VII)$$

Die Art der Bewegung des Magnetes, welche durch die Gleichungen (VI) und (VII) dargestellt wird, ist verschieden je nach der Beschaffenheit der Wurzelgröße  $r$ .

Ist  $\varepsilon < n$ , so ist  $r = i\rho$ , wenn wir  $\sqrt{-1}$  mit  $i$ , und einen der beiden Werthe von  $\sqrt{n^2 - \varepsilon^2}$  mit  $\rho$  bezeichnen. Gleichung (VI) geht dann unmittelbar über in

$$x = e^{-\varepsilon t} \{ (A + B) \cos(\rho t) - i(A - B) \sin(\rho t) \}, \quad (VIII)$$

oder, wenn den Constanten  $A$  und  $B$  ihr Werth ertheilt wird, in

$$x = \xi \cdot e^{-\varepsilon t} \left\{ \cos(\rho t) + \frac{\varepsilon}{\rho} \sin(\rho t) \right\} \quad . \quad . \quad (IX)$$

Diese Gleichungen zeigen eine Schwingungsbewegung des Magnetes an, bei der die Amplitude der Schwingungen in einer geometrischen Reihe abnimmt, die bekannte Bewegungsart gedämpfter Magnete. Der Magnet geht durch den Nullpunkt jedesmal dafs

$$\operatorname{tg}(\rho t) = - \frac{\rho}{\varepsilon},$$

und erreicht seine größte Elongation jedesmal dafs

$$\sin(\rho t) = 0.$$

Bestimmt man eine Winkelgröße  $\phi$  durch die Gleichung

$$\operatorname{tg}(\rho \phi) = - \frac{\rho}{\varepsilon},$$

so wird Gleichung (IX)

$$x = \xi \cdot e^{-\varepsilon t} \left[ \frac{n}{\rho} \sin\{\rho(t - \phi)\} \right] \quad . \quad . \quad . \quad (X)$$

Der von der eckigen Klammer umfasste Factor in dieser Gleichung entspricht dem periodischen Factor in (IX), verschwindet für  $\operatorname{tg}(\varrho t) = -\frac{\varrho}{\varepsilon}$  und wird  $= 1$  für  $\sin(\varrho t) = 0$ .

Abgesehen von der von uns vorgenommenen Constantenbestimmung, ist Gleichung (X) einerlei mit (II), oder von der Form, in welcher Gauss das Integral der Fundamentalgleichung unter der stillschweigenden Voraussetzung hingestellt hat, daß  $\varepsilon < n$  sei; während er der allgemeinen und ursprünglichen Form des Integrals, nämlich der Gleichung (VI), aus der (II) erst durch eine allerdings geläufige Umformung hervorgeht, erst später bei Erwägung der Möglichkeit, daß  $\varepsilon > n$  werde, gedenkt. Was Gauss bewog, die umgeformte Gleichung (II) voranzustellen, ist sichtlich der Umstand, daß in dieser Gestalt die Gleichung sich an die (III) anschließt, welche die Bewegung des Magnetes ohne Dämpfung darstellt. Setzt man in der Fundamentalgleichung  $\varepsilon = 0$ , wodurch der die Dämpfung ausdrückende Term verschwindet, so erhält man als allgemeines vollständiges Integral den von Gauss gegebenen Ausdruck (III), und unter denselben Annahmen über Anfangslage und Anfangsgeschwindigkeit, die wir für den Fall der Dämpfung gemacht haben, und für  $p = 0$ ,

$$A = -\xi, \quad B = \frac{\pi}{2n},$$

$$x = \xi \cdot \sin\left(\frac{\pi}{2} - nt\right) = \xi \cdot \cos(nt), \quad \dots \quad (\text{XI})$$

wo  $\pi$  in üblicher Bedeutung genommen ist. Die Vergleichung der Ausdrücke (II) und (III), oder (X) und (XI), läßt den Einfluß der Dämpfung auf die Schwingungsbewegung klar übersehen, der sich theils in dem Auftreten des die Amplituden vermindernenden Factors  $e^{-\varepsilon t}$ , theils in dem langsameren Wachsen des Argumentes der periodischen Function ausspricht, wodurch eine größere Schwingungsdauer angezeigt wird. Da es Gauss zunächst auf diesen Vergleich ankam, der Fall  $\varepsilon > n$  ihm dagegen nur als theoretisches Curiosum vorschwebte, durfte es ihm gleichgültig sein, daß bei seiner Darstellung

der unmittelbare Einblick in den Übergang der periodischen zur aperiodischen Bewegung, der bei  $\varepsilon = n$  stattfindet, verloren ging.

### §. III. Aperiodische Bewegung gedämpfter Magnete.

In dem Falle  $\varepsilon > n$ , wo also  $r$  reell ist, gilt Gleichung (VII), wie sie dasteht. Die Bewegung ist nicht mehr periodisch, sondern die Ablenkung als Function der Zeit wird dargestellt durch den Unterschied der Ordinaten zweier Exponentialcurven, die sich der Abscissenaxe asymptotisch nähern. Der Werth  $t = \infty$  ist der einzig mögliche, der  $x = 0$  macht. Fällt also der Magnet von der Ablenkung  $\xi$ , welche beliebig groß gedacht werden kann, ohne Anfangsgeschwindigkeit herab, so wird der Nullpunkt nicht überschritten, sondern erst nach unendlicher Zeit erreicht. Die Curve der Ablenkungen bezogen auf die Zeit hebt bei  $t = 0$  mit der Ordinate  $\xi$  und mit horizontaler Tangente an, und hat zuerst einen gegen die Abscissenaxe concaven Verlauf. Die Curve der Geschwindigkeiten

$$\frac{dx}{dt} = \frac{\xi n^2}{2r} \cdot e^{-\varepsilon t} (e^{-rt} - e^{rt}) \quad . \quad . \quad . \quad (XII)$$

ist am Ursprunge concav gegen die Abscissenaxe, und erreicht ein negatives Maximum für

$$t = \frac{1}{2r} \log \text{nat} \frac{\varepsilon + r}{\varepsilon - r}, \quad . \quad . \quad . \quad (XIII)$$

welchem  $t$  also ein Wendepunkt der Curve der Ablenkungen entspricht. Nach genau der doppelten Zeit folgt der Wendepunkt der Curve der Geschwindigkeiten, die sich gleichfalls der Abscissenaxe asymptotisch anschliesst. Die Ordinaten beider Curven sind für gleiche Zeiten  $\xi$  proportional.

Eine bemerkenswerthe Vereinfachung tritt in vielen Beziehungen ein für den Grenzfall, dass  $n = \varepsilon$ , oder dass  $r = 0$  wird. Das Integral der Differentialgleichung ist alsdann [vergl. oben S. 808 (V)]

$$x = (A + Bt) e^{-\varepsilon t},$$

$A$  findet man  $= \xi$ ,  $B = \varepsilon \xi$ , und man hat

$$x = \xi \cdot e^{-\varepsilon t} (1 + \varepsilon t) \quad . \quad . \quad . \quad (XIV)$$

Diese Gleichung, und die davon abgeleitete

$$\frac{dx}{dt} = \xi \cdot \varepsilon^2 t e^{-\varepsilon t} \quad \text{. . . . . (XV)}$$

lassen sich leichter discutiren als die allgemeineren (VII) und (XII). Einige der sich dabei ergebenden Beziehungen sind in Fig. 1 dargestellt, in welcher  $\xi = 2$ ,  $\varepsilon = n = 1$  gesetzt sind. Die oberhalb der Abscissenaxe verlaufende Curve ( $\xi w t$ ) ist die der Ablenkungen, die unterhalb ( $0 m w, t$ ) die der Geschwindigkeiten. Die punktirte Curve ( $\xi, \frac{\pi}{2n}, -\xi$ ) ist die Sinuscurve der Ablenkungen ohne Dämpfung, und stellt Gleichung (XI) für  $n = 1$  dar. Der Wendepunkt der Curve der Ablenkungen und das Maximum der Curve der Geschwindigkeiten treten ein zur Zeit

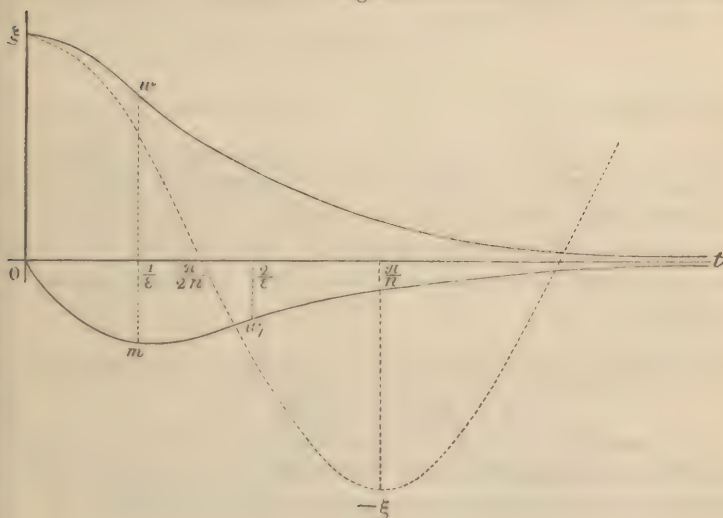
$$t = \frac{1}{\varepsilon} \quad \text{. . . . . (XVI)}$$

In der doppelten Entfernung vom Nullpunkt, also zur Zeit

$$t = \frac{2}{\varepsilon} \quad \text{. . . . . (XVII)}$$

tritt auch hier der Wendepunkt der letzteren Curve ein. Die Ordinaten der Curven sind für gleiche Zeiten  $\xi$  proportional.

Figur 1.



Wird endlich  $\varepsilon$  im Vergleich zu  $n$  so groß, oder, was völliger Astatic des Magnetes entspräche,  $n$  im Vergleich zu  $\varepsilon$  so klein, daß  $n$  gegen  $\varepsilon$  verschwindet und  $r$  merklich  $= \varepsilon$  ist, so nimmt das allgemeine vollständige Integral unserer Fundamentalgleichung abermals eine andere Gestalt an. Setzt man nämlich  $n^2 = 0$ , so wird jenes Integral

$$x = A \cdot e^{-2\varepsilon t} + B, \quad . \quad . \quad . \quad (XVIII)$$

wo  $A$  und  $B$  die beiden willkürlichen Integrationsconstanten bedeuten. Unter denselben Annahmen über Anfangslage und Anfangsgeschwindigkeit wie früher, findet man

$$A = 0, \quad B = \xi, \quad x = \xi \quad . \quad . \quad . \quad (XIX)$$

Der Magnet bleibt also bei  $\xi$  stehen, und die der Abscissenaxe parallele Gerade, welche  $\xi$  zur Ordinate hat, ist die Grenze, der sich die Curven der Ablenkungen bezogen auf die Zeit nähern, wenn  $n$  im Vergleich zu  $\varepsilon$  immer kleiner wird. Erhält aber unter diesen Umständen der Magnet im Augenblick  $t = 0$  bei  $\xi$  einen Stofs, der ihm eine Geschwindigkeit  $\pm c$  ertheilt, so wird

$$A = \mp \frac{c}{2\varepsilon}, \quad B = \xi \pm \frac{c}{2\varepsilon}, \quad x = \xi \pm \frac{c}{2\varepsilon} (1 - e^{-2\varepsilon t}). \quad (XX)$$

Der Magnet bewegt sich also mit abnehmender Geschwindigkeit

$$\frac{dx}{dt} = \pm c e^{-2\varepsilon t}$$

dem Punkte  $\xi \pm \frac{c}{2\varepsilon}$  zu, wo er nach unendlicher Zeit stehen bleibt. Der Vorgang ist der Form nach genau der nämliche wie in dem Falle, wo ein Körper nach erhaltenem Stofse sich in einem Mittel bewegt, das ihm einen seiner Geschwindigkeit proportionalen Widerstand entgegensetzt; und dies ist die höchste Stufe des Arago'schen Phänomens des Rotationsmagnetismus.

#### §. IV. Übersicht der Bewegungsformen ungedämpfter und gedämpfter Magnete.

Je nach den Werthen von  $\varepsilon$  und  $n$  nimmt also das Integral der Fundamentalgleichung die fünf verschiedenen Formen an, welche folgende Übersicht nochmals im Zusammenhange zeigt.

$$x = \xi \text{ und } \frac{dx}{dt} = 0 \text{ für } t = 0$$

$\varepsilon = 0$	$x = A \cdot \sin \{ n (t - B) \}$	$\dots \dots \dots$	(III)	$= \xi \cdot \cos (nt)$	$\dots \dots \dots$	(XI)
$\varepsilon < n,$ $r$ imaginär, $= i\rho$	$x = e^{-\varepsilon t} \{ (A + B) \cos (\zeta t) - i(A - B) \sin (\zeta t) \}$	$\dots \dots \dots$	(VIII)	$= \xi \cdot e^{-\varepsilon t} \left[ \frac{n}{\zeta} \sin \{ \zeta (t - \phi) \} \right]$	$\dots \dots \dots$	(X)
				$= \xi \cdot e^{-\varepsilon t} \left\{ \cos (\zeta t) + \frac{\varepsilon}{\zeta} \sin (\zeta t) \right\}$	$\dots \dots \dots$	(IX)
$\varepsilon = n,$ $r = 0$	$x = e^{-\varepsilon t} (A + Bt)$	$\dots \dots \dots$	(V)	$= \xi \cdot e^{-\varepsilon t} (1 + \varepsilon t)$	$\dots \dots \dots$	(XIV)
$\varepsilon > n,$ $r$ reell	$x = e^{-\varepsilon t} (A e^{rt} + B e^{r't})$	$\dots \dots \dots$	(VI)	$= \frac{\xi}{2r} \cdot e^{-\varepsilon t} \{ (\varepsilon + r) e^{rt} - (\varepsilon - r) e^{-r't} \}$	$\dots \dots \dots$	(VII)
$n = 0,$ $r = \varepsilon$	$x = A \cdot e^{-2\varepsilon t} + B$	$\dots \dots \dots$	(XVIII)	$= \xi \dots \dots \dots$	$\dots \dots \dots$	(XIX)

Bewegung periodisch.

Bewegung aperiodisch.

Aus (IX) wird durch  $\varepsilon = 0$  (XI), durch  $\varepsilon = n$  (XIV); aus (VII) durch  $\varepsilon = n$  (XIV), durch  $n = 0$  (XIX). Dieser Übergang der verschiedenen Formen in einander ist das analytische Abbild des allmählichen Überganges, der in Wirklichkeit von den Schwingungen des ungedämpften Magnetes bis zur völligen Astasie des gedämpften Magnetes führt.

Die Schwingungsdauer des gedämpften Magnetes ist nach Gauss

$$T_1 = \frac{\pi}{\sqrt{n^2 - \varepsilon^2}} \quad . \quad . \quad . \quad . \quad . \quad (XXI)$$

Wird also  $\varepsilon =$  oder  $> n$ , d. h. die Bewegung aperiodisch, so spricht sich dies darin aus, daß der Ausdruck für die Schwingungsdauer unendlich groß, beziehlich imaginär wird.

Der Ausdruck für das in natürlichen Logarithmen angegebene logarithmische Decrement der Schwingungen des gedämpften Magnetes ist

$$\lambda = \varepsilon T_1 = \frac{\varepsilon \pi}{\sqrt{n^2 - \varepsilon^2}} .$$

Für  $\varepsilon = n$  ist  $\lambda$  unendlich, schon die zweite Amplitude verschwindet im Vergleich zur ersten. Für  $\varepsilon > n$  ist  $\lambda$  imaginär, und auch so giebt sich die eingetretene Schwingungslosigkeit zu erkennen.

### §. V. Aperiodische Bewegung mit Anfangsgeschwindigkeit.

Wir wollen jetzt einen Fall betrachten, dessen Behandlung wesentlich dazu beitragen wird, unsere Kenntniss der aperiodischen Bewegung gedämpfter Magnete zu vervollständigen. Dies ist der Fall, wo die Anfangsgeschwindigkeit nicht Null ist, sondern einen negativen Werth  $-c$ , also im Sinne der Richtkraft, besitzt. Die Constanten  $A$  und  $B$  werden beziehlich in Gleichung (VI)

$$\frac{c - \xi(\varepsilon - r)}{2r}, \quad \frac{-c + \xi(\varepsilon + r)}{2r},$$

und in Gleichung (V)

$$\xi, \quad -c + \varepsilon \xi;$$

die Gleichungen selber

$$x = \frac{e^{\varepsilon t}}{2r} \left[ \{c - \frac{\varepsilon}{2}(\varepsilon - r)\} e^{-rt} - \{c - \frac{\varepsilon}{2}(\varepsilon + r)\} e^{rt} \right], \quad (\text{XXII})$$

$$x = e^{-t} \left\{ \xi - t(c - \varepsilon \xi) \right\} . . . . . \text{(XXIII)}$$

Die Bewegung ist aperiodisch; übersteigt aber  $c$  in jedem der beiden Fälle (XXII) und (XXIII) einen gewissen Werth, den wir bald näher betrachten wollen, so wird der Nullpunkt überschritten. Noch ehe  $c$  diesen Werth erreicht, werden die Curven der Ablenkungen und der Geschwindigkeiten von  $t = 0$  ab convex gegen die Abscissenaxe. Im Falle (XXIII) tritt dies z. B. ein bei  $c > \frac{1}{2}\varepsilon\xi$  für erstere, bei  $c > \frac{1}{3}\varepsilon\xi$  für letztere Curve, während, wie wir sehen werden, erst von  $c > \varepsilon\xi$  ab der Nullpunkt überschritten wird. Dies Überschreiten geschieht im Falle (XXII) zur Zeit

$$t_0 = \frac{1}{2r} \log \frac{c - \xi(\varepsilon - r)}{c - \xi(\varepsilon + r)},$$

im Falle (XXIII) zur Zeit

$$t_0 = \frac{\tilde{t}}{c - \varepsilon \tilde{t}}.$$

Jenseit des Nullpunktes kehrt der Magnet in seiner Bewegung um, im Falle (XXII) zur Zeit

$$t_{max} = \frac{1}{2r} \log \frac{(\varepsilon + r) \{c - \xi(\varepsilon - r)\}}{(\varepsilon - r) \{c - \xi(\varepsilon + r)\}},$$

im Falle (XXIII) zur Zeit

$$t_{max} = \frac{c}{\varepsilon (c - \varepsilon \xi)},$$

zu welchen Zeiten  $\frac{dx}{dt}$  durch Null geht. Die Curve der Ablenkungen ist vom Nullpunkt der Scale ab concav gegen die Abscissenaxe der Zeiten; es erfolgt aber ein positives Maximum der Geschwindigkeit, sowie ein Wendepunkt der Curve der Ablenkungen im Falle (XXII) zur Zeit

$$t_w = \frac{1}{2r} \log \frac{(\varepsilon + r)^2 \{c - \xi(\varepsilon - r)\}}{(\varepsilon - r)^2 \{c - \xi(\varepsilon + r)\}},$$

im Falle (XXIII) zur Zeit

$$t_w = \frac{2c - \varepsilon \xi}{\varepsilon (c - \varepsilon \xi)}.$$

Darauf nähert sich der Magnet von der anderen Seite her asymptotisch dem Ruhestande. Auch die Curve der Geschwindigkeiten nähert sich schliesslich asymptotisch der Abscissenaxe, nachdem sie im Falle (XXII) zur Zeit

$$t_w = \frac{1}{2r} \log \frac{(\varepsilon + r)^3 \{c - \xi(\varepsilon - r)\}}{(\varepsilon - r)^3 \{c - \xi(\varepsilon + r)\}},$$

im Falle (XXIII) zur Zeit

$$t_w = \frac{3c - 2\varepsilon \xi}{\varepsilon (c - \varepsilon \xi)}$$

einen Wendepunkt gehabt hat.

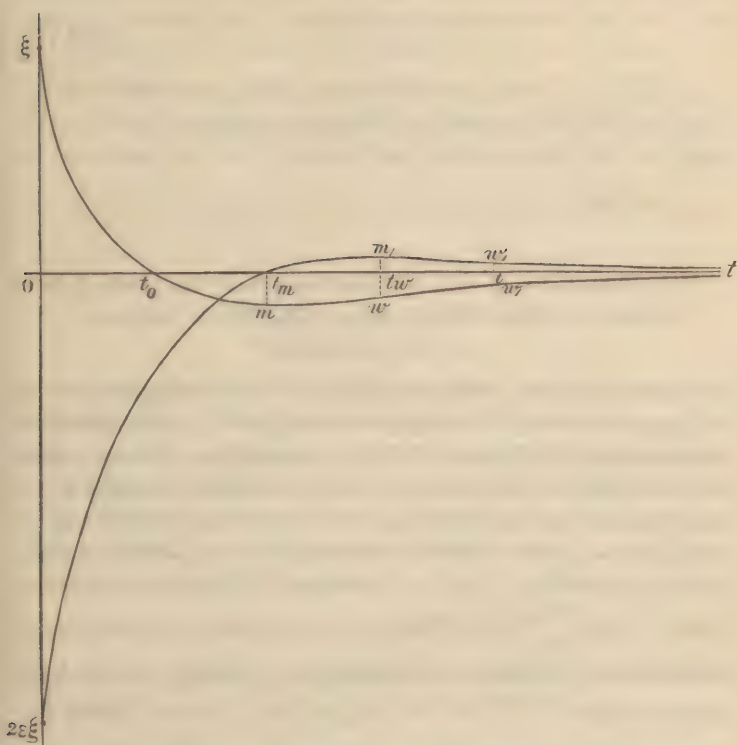
Die Zeiten  $t_0, t_{max}, t_w, t_{w_1}$  bilden also in beiden Fällen Glieder einer arithmetischen Reihe, deren beständiger Unterschied im Falle (XXII)

$$\frac{1}{2r} \log \frac{\varepsilon + r}{\varepsilon - r},$$

im Falle (XXIII)  $\frac{1}{\varepsilon}$  beträgt [vergl. oben S. 812. 813, (XII, XVI, XVII)].

In Fig. 2 zeigt  $\xi t_0 m w t$  die durch (XXIII) dargestellte Curve der Ablenkungen bezogen auf die Zeit, nebst der zugehörigen Curve der Geschwindigkeiten ( $2\varepsilon \xi, t_m m, w, t$ ), unter sonst denselben Annahmen wie in Fig. 1; die Curve der Ablenkungen ist von ihrem negativen Maximum  $m$  ab dieselbe wie in Fig. 1, nur mit verkleinerten Ordinaten. Die Anfangsgeschwindigkeit  $c$  ist in der Figur  $= 2\varepsilon \xi = 4$  gesetzt.

Figur 2.



Da die Zeit in ihrem Fortschritt nicht negativ werden kann, haben die Ausdrücke für  $t_0$  eine wirkliche Bedeutung nur wenn in dem auf den Fall (XXII) bezüglichen Ausdruck die Gröfse unter dem Logarithmus positiv und  $> 1$ , also

$$c > \xi (\varepsilon + r), \quad . . . . . (XXIV)$$

wo  $r$ , wie stets von hier ab, einen positiven Werth hat; oder wenn in dem auf den Fall (XXIII) bezüglichen Ausdruck

$$c > \varepsilon \xi \quad . . . . . (XXV)$$

ist. Noch für  $c = \xi (\varepsilon + r)$  im ersten,  $c = \varepsilon \xi$  im zweiten Falle wird der Nullpunkt erst nach unendlicher Zeit erreicht, und zwar nehmen dabei die Gleichungen (XXII) und (XXIII) beziehlich die einfachen Formen an



$x_0$  eine Ordinate zu  $t_0$ . Indem wir den Coordinatenursprung von  $t = 0$  nach  $t = t_0$  verlegen, verwandeln wir der Form nach den Vorgang in den durch Gleichung (XXIII) dargestellten, und haben also

$$x = e^{-\varepsilon(t-t_0)} \left\{ x_0 - (t-t_0) \left( -\frac{dx_0}{dt} - \varepsilon x_0 \right) \right\} \quad (\text{XXVIII})$$

Es ist aber, nach Gleichung (XIV) und (XV),

$$x_0 = \xi \cdot e^{-\varepsilon t_0} (1 + \varepsilon t_0),$$

$$\frac{dx_0}{dt} = -\xi \cdot \varepsilon^2 t_0 e^{-\varepsilon t_0}.$$

Diese Werthe in (XXVIII) eingesetzt liefern wieder die ursprüngliche Gleichung (XIV), d. h. der Nullpunkt wird nicht überschritten, wenn dem Magnete bei  $x_0$  eine Geschwindigkeit ertheilt wird, wie er sie dort durch Fallen von einem beliebig hohen  $\xi$  hätte erlangen können.  $x$  kann erst Null werden, wie Gleichung (XXVIII) uns abermals vorführt, wenn

$$-\frac{dx_0}{dt} > \varepsilon x_0, \text{ d. h. } c_0 > \varepsilon x_0.$$

Dieselbe Schlussfolge führt unter der Annahme  $\varepsilon > n$  zur Bedingung

$$-\frac{dx_0}{dt} > (\varepsilon + r)x_0, \text{ d. h. } c_0 > (\varepsilon + r)x_0,$$

entsprechend der Ungleichheit (XXIV) auf S. 819. So werden wir darauf hingewiesen, daß  $\varepsilon x$ ,  $(\varepsilon + r)x$  vielleicht allgemein die Grenzgeschwindigkeiten seien, die beziehlich für  $\varepsilon = n$ ,  $\varepsilon > n$  der Magnet bei  $x$  durch Fallen aus einer beliebig hohen Anfangslage erlangen könne. Es handelt sich darum, die Richtigkeit dieser Vermuthung zu prüfen.

Dazu müssen wir von der Betrachtung der Geschwindigkeit als Function der Zeit und Anfangslage  $\frac{dx}{dt} = f(t, \xi)$ , übergehen zur Betrachtung der Geschwindigkeit als Function der Ablenkung und Anfangslage  $\frac{dx}{dt} = \phi(x, \xi)$ . Letztere Function

läßt sich nun zwar nicht explicit darlegen; dies verhindert aber nicht, den Verlauf der entsprechenden Curve soweit festzustellen, als für unsere Zwecke nöthig ist. Aus Gründen, die bald einleuchten werden, berücksichtigen wir zunächst nur den Fall  $\varepsilon = n$ , oder die Bewegungsgleichung (XIV).

Der Kürze halber setzen wir

$$x' = \frac{dx}{dt}, \quad x'' = \frac{dx'}{dt}, \quad x''' = \frac{dx''}{dt}.$$

Wir haben dann die Gleichungen

$$\begin{aligned} x &= +\xi \cdot e^{-\varepsilon t} (1 + \varepsilon t) \\ x' &= -\xi \cdot e^{-\varepsilon t} \varepsilon^2 t \\ x'' &= +\xi \cdot e^{-\varepsilon t} \varepsilon^2 (\varepsilon t - 1) \\ x''' &= -\xi \cdot e^{-\varepsilon t} \varepsilon^3 (\varepsilon t - 2). \end{aligned}$$

Nun ist allgemein

$$\frac{dx'}{dx} = \frac{x''}{x'}, \quad \frac{d^2 x'}{dx^2} = \frac{x' x''' - x''^2}{x'^3}.$$

Hieraus ergeben sich, durch Einsetzen obiger Werthe für  $x'$ ,  $x''$ ,  $x'''$ , folgende Beziehungen:

$$\frac{dx'}{dx} = \frac{1 - \varepsilon t}{t}, \quad \frac{d^2 x'}{dx^2} = \frac{1}{\xi \cdot e^{-\varepsilon t} \varepsilon^2 t^3}.$$

Mit Hülfe dieser Gleichungen läßt sich der Verlauf der gesuchten Curve  $x' = f(x)$  zwischen den Grenzen  $x = 0$ ,  $x = \xi$  deshalb discutiren, weil, während  $t$  von Null bis  $\infty$  stetig wächst,  $x$  stetig von  $\xi$  bis Null abnimmt.

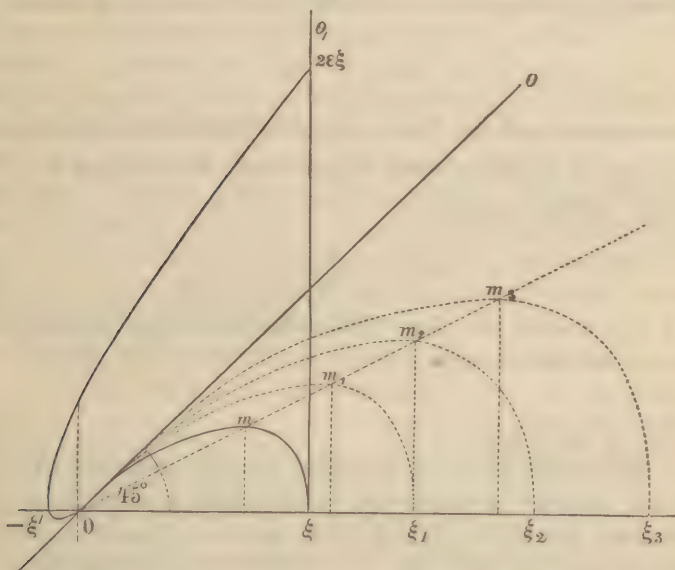
Aus dem Werthe von  $\frac{d^2 x'}{dx^2}$  folgt zunächst, daß die Curve zwischen den angegebenen Grenzen keinen Wendepunkt hat, sondern der Abscisse stets ihre Concavität zukehrt. Aus dem Werthe von  $\frac{dx'}{dx}$  folgt ferner, daß die Curve bei  $x = 0$  aus der Abscissenaxe herabsteigt unter einem Winkel, dessen Tangente den absoluten Werth  $\varepsilon$  hat. Sie hat dann für  $t = \frac{1}{\varepsilon}$  (XVI) oder  $x = \frac{2}{e} \xi$  ein Maximum im absoluten Betrage von  $\frac{\varepsilon}{e} \xi$ , und

kehrt bei  $\xi$  zur Abscissenaxe zurück mit darauf senkrechter Tangente; denn für  $t = 0$  ist

$$\frac{dx'}{dx} = \infty.$$

Unter denselben Annahmen, wie den bei Fig. 1 gemachten, sieht daher unsere Curve etwa aus, wie die ausgezogene Curve  $om\xi$  in Fig. 3, in welcher die Geschwindigkeiten, obschon analytisch negativ, der Anschaulichkeit halber über der Abscissenaxe aufgetragen, und  $o\theta$ ,  $\xi\theta$ , die Tangenten an den letzten Elementen der Curve bei 0 und  $\xi$  sind. Da wir in der Figur  $\varepsilon = 1$  gemacht haben, ist der Winkel  $\theta_0\xi = 45^\circ$ .

Fig. 3.



Dies ist der allgemeine Verlauf der Curve für jeden Werth von  $\xi$ . Es erübrigt sich ein Bild davon zu machen, wie sich die Curve mit  $\xi$  ändert. Sowohl die Ordinaten als die Abscissen der Curve sind für ein gegebenes  $t$  proportional  $\xi$  (s. oben S. 813); die den verschiedenen Werthen des Parameters  $\xi$  entsprechenden Curven sind also einander ähnlich. Da die Curven vom Nullpunkte sämmtlich unter dem Winkel

ausstrahlen, dessen Tangente  $\varepsilon$  ist, während der  $\xi$ -Punkt auf der Abscissenaxe weiter hinaus verlegt wird, so bilden die durch Vergrößerung von  $\xi$  aus  $0m\xi$  entstehenden Curven eine Schaar, wie Fig. 3 in den punktirten Curven  $0m_1\xi_1, 0m_2\xi_2, \dots$  zeigt. Faßt man einen Punkt einer der Curven in's Auge, so rückt in dem Maße, wie  $\xi$  wächst, der Punkt auf der durch ihn und den Nullpunkt gelegten Geraden

$$x' = -\frac{\varepsilon t}{\varepsilon t + 1} \cdot \varepsilon x, \quad . \quad . \quad . \quad (XXIX)$$

weiter fort; denn alsdann wachsen Ordinaten und Abscissen des Punktes proportional  $\xi$ . Z. B. das Maximum unserer Curve  $x' = \phi(x, \xi)$  bewegt sich wegen  $t = \frac{1}{\varepsilon}$  (XVI) auf der Geraden

$$x' = -\frac{1}{2} \varepsilon x$$

(s.  $0mm_1m_2m_3$  in der Figur); der dem Wendepunkte der Curve  $x' = f(t, \xi)$  (s. oben S. 821) entsprechende Punkt wegen  $t = \frac{2}{\varepsilon}$  (XVII) auf der Geraden

$$x' = -\frac{2}{3} \varepsilon x$$

u. s. w.; endlich der dem Nullpunkte nächste Punkt wegen  $t = \infty$  auf der Geraden

$$x' = -\varepsilon x$$

(s.  $o\theta$  in der Figur).

Macht man zuletzt  $\xi$  unendlich, und soll Gleichung (XIV) für ein endliches  $x$  erfüllt sein, so muß auch  $t$  unendlich sein. Erst nach unendlicher Zeit trifft der aus dem Unendlichen fallende Magnet im Endlichen ein, wobei seine Geschwindigkeit für endliche Zeit unendlich ist. Im Endlichen aber besteht, wie wir eben sahen, wegen  $t = \infty$  in Gleichung (XXIX), zwischen seiner Geschwindigkeit und Ablenkung in jedem Augenblicke die Relation

$$x' = -\varepsilon x.$$

Die durch diese Gleichung dargestellte Gerade  $o\theta$  in der Figur ist somit die Grenze, der sich im Endlichen

unsere Curven nähern, wenn  $\xi$  in's Unendliche wächst; was schon aus ihrer Ähnlichkeit ohne Weiteres erhellt, übrigens sich den Gleichungen (XIV) und (XV) auch unmittelbar entnehmen läßt. Der durch Division beider Gleichungen erhaltene Werth von  $t$  in (XIV) eingesetzt giebt

$$\varepsilon \xi = (x' + \varepsilon x) e^{\frac{x'}{x' + \varepsilon x}};$$

eine Relation, die für  $\xi = \infty$  nur stattfindet, wenn  $x' = -\varepsilon x$  ist.

Damit sind wir am Ziele. In jeder für uns in Betracht kommenden Entfernung vom Nullpunkte können wir die Gerade 0 $\theta$  für die Curve selber nehmen, in der die Geschwindigkeit des aus verhältnißmäßig sehr großer Ferne fallenden Magnetes abnehmen würde; diese Abnahme geschähe den Ablenkungen proportional. Die Ordinaten der Geraden 0 $\theta$  geben folglich für jedes  $x$  die grösste Fallgeschwindigkeit an, welche der Magnet dort erlangen könnte, und mit der er also noch nicht den Nullpunkt überschreiten würde. Setzen wir  $x = \xi$ , so folgt  $-\varepsilon \xi$  als grösste bei  $\xi$  erreichbare Fallgeschwindigkeit. Es muß also im Fall  $\varepsilon = n$  dem Magnete bei  $\xi$ , damit der Nullpunkt überschritten werde, eine Anfangsgeschwindigkeit  $c > \varepsilon \xi$  (XXV) ertheilt werden; und so hat in diesem Fall unsere Vermuthung sich bestätigt.

Setzt man wie in Fig. 2  $c = 2\varepsilon \xi = 4$ , so zeigt die Curve ( $2\varepsilon \xi, +\xi', 0$ ) in Fig. 3, wie etwa die Curve der Geschwindigkeiten bezogen auf die Ablenkungen sich gestaltet, wenn der Magnet in Folge einer ihm bei  $\xi$  ertheilten Anfangsgeschwindigkeit den Nullpunkt überschreitet. Das Stück ( $-\xi', 0$ ) der Curve ist natürlich nach demselben Gesetze gebildet wie die Curven  $0m\xi, 0m_1\xi_1, \dots$ , und das verkleinerte Gegenstück dazu.

Die Gleichung

$$x = e^{-\varepsilon t} \left\{ \xi - t(c - \varepsilon \xi) \right\}$$

[(XXIII) S. 817], welche im Fall  $\varepsilon = n$  die Bewegung des Magnetes mit der Anfangsgeschwindigkeit  $-c$  vorstellt, geht für  $c = \varepsilon \xi$  über in

$$x = \xi \cdot e^{-\varepsilon t}$$

[(XXVII) S. 820]. Anstatt als Anfangsgeschwindigkeit, können

wir uns  $c = \varepsilon \xi$  jetzt aber auch als Fallgeschwindigkeit, durch Fallen aus dem Unendlichen entstanden, denken, indem wir annehmen, daß die Zeit von dem Augenblick an, wo der aus dem Unendlichen fallende Magnet durch die Lage  $\xi$  hindurchging, neu gezählt werde. Der aus dem Unendlichen nach unendlicher Zeit im Endlichen angelangte Magnet würde den Nullpunkt also erst nach abermals unendlicher Zeit erreichen. Übrigens stößt hier die Umkehrung der Gleichung zwischen  $x$  und  $t$  auf keine Schwierigkeit mehr, daher in diesem Falle die Gleichung  $x' = \varphi(x, \xi)$  selber darstellbar wird. Man hat

$$x' = -\xi \cdot \varepsilon e^{-\varepsilon t},$$

und indem man für  $e^{-\varepsilon t}$  seinen Werth aus (XXVII) setzt, erhält man dem Obigen entsprechend

$$x' = -\varepsilon x,$$

wie umgekehrt Gleichung (XXVII) aus der Integration des letzteren Ausdruckes hervorgeht, wenn man zur Constantenbestimmung  $x = \xi$  für  $t = 0$  setzt.

Wendet man dieselben Betrachtungen auf den Fall  $\varepsilon > n$  an, so findet man

$$\frac{dx'}{dx} = \frac{(\varepsilon - r)e^{rt} - (\varepsilon + r)e^{-rt}}{e^{-rt} - e^{rt}},$$

$$\frac{d^2 x'}{dx^2} = -\frac{1}{\xi \cdot n^2 e^{-\varepsilon t}} \left\{ \frac{2r}{e^{-rt} - e^{rt}} \right\}^3.$$

Die Curve  $x' = \varphi(x, \xi)$  ist also auch in diesem Fall ohne Wendepunkt, concav gegen die Abscissenaxe, mit einem Maximum für den oben (XIII) gefundenen Werth von  $t$ ; die Tangente des Winkels am Nullpunkte beträgt  $\varepsilon - r$ ; am  $\xi$ -Punkte ist der Winkel ein rechter. Die Curven für verschiedene  $\xi$  sind einander ähnlich. Für  $\xi = \infty$  muß auch hier  $t = \infty$  sein, wenn  $x$  endlich sein soll; als diesem Fall entsprechende Grenzgestalt der Curvenschaar erhält man aber hier die Gerade

$$x' = -(\varepsilon - r)x;$$

$(\varepsilon - r)\xi$  ist die bei  $\xi$  erreichbare Grenzgeschwindigkeit. Auch hier folgt dasselbe unmittelbar aus dem durch Eliminiren von  $t$  zwischen (VII) und (XII) erhaltenen Ausdruck

$$\xi^{2r} = \frac{\left(x + \frac{x'}{\varepsilon + r}\right)^{\varepsilon + r}}{\left(x + \frac{x'}{\varepsilon - r}\right)^{\varepsilon - r}},$$

dessen rechte Seite für  $x' = -(\varepsilon - r)x$  unendlich wird.

Als obere Grenze der Anfangsgeschwindigkeit, welche dem Magnete bei  $\xi$  ertheilt, ihn für  $\varepsilon > n$  noch nicht über den Nullpunkt führt, fanden wir oben S. 819 (XXIV) den Werth  $(\varepsilon + r)\xi$ . In diesem Falle trifft also unsere Vermuthung hinsichtlich der Bedeutung dieser Grenze in etwas anderer Form zu, als in dem Fall  $\varepsilon = n$ . Es muß die dem Magnete bei  $\xi$  ertheilte Anfangsgeschwindigkeit die bei  $\xi$  erreichbare höchste Fallgeschwindigkeit, unstreitig der stärkeren Dämpfung halber, noch um mehr als  $2r\xi$  übertreffen, damit der Nullpunkt überschritten werde.

Eliminirt man mit Hülfe von Gleichung (XXVI)  $t$  in der durch Differenziren derselben Gleichung erhaltenen Gleichung

$$x' = -\xi \cdot (\varepsilon + r) e^{-(\varepsilon + r)t},$$

so ergibt sich

$$x' = -(\varepsilon + r)x$$

als Gleichung der auf die Scale aufgetragenen Anfangsgeschwindigkeiten, welche den Magnet noch nicht über den Nullpunkt führen. Als Gleichung der ebenso aufgetragenen Grenzgesehwindigkeiten beim Fall aus dem Unendlichen fanden wir so eben

$$x' = -(\varepsilon - r)x.$$

Die Integration dieser Gleichung liefert, wenn man für  $t = 0$  abermals  $x = \xi$  macht, zwischen  $x$  und  $t$  die Relation

$$x = \xi \cdot e^{-(\varepsilon - r)t}.$$

Für  $r = \varepsilon$  hat man  $x' = 2\varepsilon(\xi - x) - c$ . Erhalte der völlig astatische Magnet bei  $\xi$  die Geschwindigkeit  $-2\varepsilon\xi$ , so nähme diese in der Geraden  $x' = -2\varepsilon x$  ab (s. S. 814 (XX), 820).

## §. VII. Verhalten aperiodisch sich bewogender Magnete bei kurzer Einwirkung eines Stromes.

Setzen wir jetzt den Fall, zur Zeit Null wirke ein constanter Strom von der Stärke  $I$  eine sehr kurze Zeit  $\tau$  auf



ein Wendepunkt folgt. Der Ausdruck für  $t_{max}$  erlaubt durch einen beliebigen dem Magnet ertheilten Stromstofs  $\varepsilon = n$  numerisch zu bestimmen. Die Curve der Geschwindigkeiten hebt bei  $t = 0$  mit der Ordinate  $c$  an, und ist convex gegen die Abscissenaxe, bis sie diese bei  $t_{max}$  schneidet. Sie erreicht zur Zeit  $t_w$  ein negatives Maximum und hat einen Wendepunkt bei

$$t_w = \frac{3}{\varepsilon}.$$

Die oben S. 818 bemerkte arithmetische Reihe der Zeiten kehrt also hier wieder.<sup>1)</sup>

### §. VIII. Verhalten aperiodisch sich bewogender Magnete bei Ablenkung durch einen beständigen Strom, und bei Stromschwankungen.

Bewegt sich der Magnet unter dem Einfluß eines ihn auf dem Nullpunkte zur Zeit Null treffenden beständigen Stromes von der Stärke  $I$ , aber von längerer Dauer, einer neuen Gleichgewichtslage unter dem vereinten Einflusse dieses Stromes und der Richtkraft zu, so wird die Differentialgleichung der Bewegung

$$\frac{d^2 x}{dt^2} + 2\varepsilon \frac{dx}{dt} + n^2 x = k,$$

wo die Constante  $k$  die innerhalb derselben Grenzen, welche für die Proportionalität der Richtkraft und der Ablenkung gelten, von der letzteren unabhängige ablenkende Kraft, dividirt durch das Trägheitsmoment, vorstellt. Das allgemeine vollständige Integral heist jetzt

$$x = \frac{k}{n^2} + e^{-\varepsilon t} (Ae^{-rt} + Be^{rt}) \quad . \quad . \quad (XXXV)$$

<sup>1)</sup> Für den Fall  $\varepsilon < n$  hat Hr. W. Weber die Formel entwickelt

$$x_{max} = c \frac{T}{\pi} \cdot e^{-\frac{\lambda}{\pi} \arctg \frac{\pi}{\lambda}},$$

wo  $T$  die Schwingungsdauer ohne Dämpfung,  $\lambda$  das logarithmische Decrement bedeuten (Elektrodynamische Maßbestimmungen u. s. w. Leipzig 1850. S. 346. Anm.). Diese Formel ist für  $\varepsilon = n$  identisch mit unserer Formel (XXXIV).



ertheilt, so tritt eine Discontinuität der Bewegung ein. Je nachdem  $\varepsilon >$  oder  $= n$ , gelangt man zu den Gleichungen

$$x = \frac{\xi}{2r} \{(\varepsilon + r) e^{-(\varepsilon-r)(t_1+t)} - (\varepsilon - r) e^{-(\varepsilon+r)(t_1+t)}\} \\ \pm \frac{c}{2r} \{e^{-(\varepsilon-r)t} - e^{-(\varepsilon+r)t}\} \quad . \quad . \quad . \quad (\text{XXXVIII})$$

$$x = \xi \cdot e^{-\varepsilon(t_1+t)} \{1 + \varepsilon(t_1+t)\} \pm cte^{-\varepsilon t} \quad . \quad . \quad . \quad (\text{XXXIX})$$

Hier ist  $t$  die vom Augenblicke des Stosses an neu gezählte Zeit. Das rechte Glied von Gleichung (XXXVIII) und (XXXIX) ist die algebraische Summe der rechten Glieder beziehlich von Gleichung (VII) und (XXXI), Gleichung (XIV) und (XXXII), nur dafs im ersten Term  $t_1 + t$  für  $t$  steht: es findet, wie dies nicht anders sein kann, Superposition der Bewegungen statt.

Ist  $c$  negativ, so kann hier wieder der Nullpunkt überschritten werden; doch mufs im Falle (XXXVIII)

$$c - \frac{dx_1}{dt} > (\varepsilon + r) x_1,$$

im Falle (XXXIX)

$$c - \frac{dx_1}{dt} > \varepsilon x_1$$

sein (vgl. oben §. VI).

Schwankt ein beständiger Strom, der den Magnet abgelenkt hält, so dafs seine Stärke von  $I$  sich plötzlich zu  $I_1$  ändert, so erhält man, je nachdem  $\varepsilon >$  oder  $= n$ , die Gleichungen

$$x = \frac{\mu}{mH} \left[ I_1 + (I - I_1) \frac{e^{-\varepsilon t}}{2r} \{(\varepsilon + r) e^{rt} - (\varepsilon - r) e^{-rt}\} \right],$$

$$x = \frac{\mu}{mH} \{I_1 + (I - I_1) e^{-\varepsilon t} (1 + \varepsilon t)\}:$$

der Magnet geht schwingungslos in die neue Lage über.

Ein Hin- und Hergang des aperiodischen Magnetes ist nur möglich, wie man jetzt auch ohne Rechnung sicher schliessen kann, wenn die Gleichgewichtslage selber bei positiver Schwankung der Stromstärke wieder zurück-, bei negativer Schwankung wieder vorspringt, und wenn entweder dieser zweite Sprung die Gleichgewichtslage wieder auf die andere Seite des Magnetes

verlegt, oder der zweite Sprung zu einer Zeit geschieht, wo in Folge des ersten Sprunges der Magnet noch eine dem zweiten Sprunge entgegengesetzte Geschwindigkeit hat; im letzteren Falle darf aber, soll die neue Gleichgewichtslage überschritten werden, diese Gleichgewichtslage höchstens in solcher Entfernung  $\xi$ , vor dem ihr entgegentommenden Magnete stehen bleiben, daß seine Geschwindigkeit, je nachdem  $\varepsilon >$  oder  $= n$ , beziehlich noch  $> (\varepsilon + r) \xi$ , oder  $> \varepsilon \xi$ , ist (vgl. oben §. VI).

§. X. Nähere Bestimmung der experimentellen Bedingungen, unter denen die Bewegung gedämpfter Magnete aperiodisch wird.

Es wird jetzt nützlich sein, in den Ausdruck

$$r = \sqrt{\varepsilon^2 - n^2}$$

statt der von Gauss aus analytischen Gründen angenommen und bisher auch von uns benutzten Symbole  $2\varepsilon$  und  $n^2$  die wirklichen Größen zu setzen, die darin eingehen. Für  $n^2$  haben wir schon oben seinen Werth  $\frac{mH}{M}$  eingeführt (XXXVI), den wir aber noch näher so bestimmen wollen, daß wir für  $m$  schreiben  $(\iota + rH)m'$ , wo  $\iota$  die permanente,  $rH$  die durch  $H$  inducirte<sup>1)</sup> Intensität des Magnetes,  $m'$  sein Moment für parallele Kräfte bei der Intensität Eins bedeuten. Man hat also

$$n^2 = \frac{(\iota + rH)m'H}{M}.$$

Bezeichnen wir sodann mit  $m'$  das Drehungsmoment, welches für die magnetische Intensität Eins auf den Magnet ausgeübt wird durch eine Strömung im Dämpfer, wie sie der Magnet bei seiner Winkelbewegung erzeugt, und mit  $\kappa$  eine Constante, welche unter anderen die Inductionsconstante und das Leitvermögen des Dämpfers zu Factoren hat, so ist

---

<sup>1)</sup> Lamont im Repertorium der Physik. Berlin 1846. Bd. VII. S. LIV. — Vergl. meine Untersuchung über den Einfluß, den die temporäre Magnetisirung der einzelnen Nadeln einer astatischen Doppelnadel durch die Erde auf die Gleichgewichtslage des Systemes übt. Poggendorff's Annalen u. s. w. 1861. Bd. CXII. S. 1.

$$2\varepsilon = - \left( - \frac{\kappa m'^2 (1 + \gamma H)^2}{M} \right).$$

Durch Einsetzen dieser Werthe wird

$$r = \frac{1}{2M} \sqrt{1 + \gamma H} \sqrt{\kappa^2 m'^4 (1 + \gamma H)^3 - 4m'HM}.$$

Bei gleicher Dämpfung wird also  $r$  um so eher  $= 0$  oder reell, d. h. die Bewegung des Magnetes um so eher aperiodisch, je kleiner  $M$ , und je kleiner  $H$ . Zwar nimmt, durch Verkleinern von  $H$ , auch der erste Term unter dem Wurzelzeichen ab, doch ist  $\gamma$  so klein, daß diese Abnahme neben der des zweiten Termen hier nicht in Betracht kommt.

Da es Gauss bei seinen Zwecken, wie wir sahen (vergl. oben S. 808), nicht daran lag, den aperiodischen Zustand herbeizuführen, so hat er nicht daran gedacht, statt durch Vergrößern von  $\kappa m'^2$ , dies durch Verkleinern von  $HM$  zu thun, wozu sich zunächst das einfache Mittel bietet, die Wirkung der Erdkraft auf den Magnet zu schwächen, und so  $H$  zu vermindern. Dazu wird im Princip jede der drei Methoden des Astatics taugen: die Verbindung zweier Magnete zur Doppelnadel, die Aufstellung der Drehungsaxe des Magnetes in der Richtung der Inclinationsnadel, endlich das Haüy'sche Verfahren, bei dem ein verkehrt genäherter Magnetstab der Erde entgegenwirkt, aus einleuchtenden Gründen jedoch am besten die letztere Methode, deren ich mich zu meinen thierisch-elektrischen Versuchen längst ausschließlicb bediene. Bei dieser wird, wenn  $S$  die horizontale Componente der Kraft des Haüy'schen Stabes bezeichnet,

$$\varepsilon = \frac{\kappa m'^2 \{1 + \gamma(H - S)\}^2}{2M}, \quad . \quad . \quad . \quad (XL)$$

$$r = \frac{1}{2M} \sqrt{1 + \gamma(H - S)} \sqrt{\kappa^2 m'^4 \{1 + \gamma(H - S)\}^3 - 4m'(H - S)M}.$$

An der Wiedemann'schen Bussole, welche mit einem starken Dämpfer versehen ist<sup>1)</sup>, gelingt es daher ohne jede

<sup>1)</sup> In den von Hrn. Sauerwald vortrefflich gebauten Exemplaren besteht der Dämpfer aus einem kupfernen Cylinder von 60<sup>mm</sup> Durchmesser und 30<sup>mm</sup> Länge. Dieser Cylinder ist seiner Axe nach von

Schwierigkeit, durch fortgesetzte Annäherung des von mir daran angebrachten Haüy'schen Stabes den Magnetspiegel in den aperiodischen Zustand zu versetzen. Um bequem darüber zu experimentiren, leitet man von dem Strom einer beständigen Kette mittels des Compensators <sup>1)</sup> einen Zweig durch die Rollen der Bussole und unterbricht den Stromzweig mittels eines Schlüssels im Bussolkreise. Indem man den Magnet stets aus der nämlichen Ablenkung ohne Anfangsgeschwindigkeit fallen läßt, sieht man zuerst in dem Maße, wie man den Haüy'schen Stab nähert, das logarithmische Decrement wachsen. Dann kommt ein Punkt, wo zwar der Magnet noch über den Nullpunkt hinausschwingt, aber keine dritte Elongation mehr unterschieden werden kann. Die zweite Elongation wird endlich auch unmerklich, und nun ist das logarithmische Decrement unendlich geworden, und der aperiodische Zustand da. Dieser Punkt läßt sich natürlich nicht mit vollkommener Schärfe bestimmen, wegen der Schwierigkeit zu unterscheiden, ob eine rückgängige Bewegung des Magnetes um wenige Zehntel eines Scalentheiles, welche mehrere Secunden dauert, wirklich als Rückkehr zur Gleichgewichtslage aufzufassen sei. Übrigens handelt es sich hier zuletzt um ziemlich kleine Verschiebungen des Haüy'schen Stabes. Scheint der aperiodische Zustand eben erreicht und entfernt man den Stab wieder auch nur um 1<sup>mm</sup> bei etwa 300<sup>mm</sup> Abstand seiner Mitte von der des Spiegels, so wird bei größeren Fallhöhen der Nullpunkt sogleich wieder um 1—2<sup>sc</sup> überschritten. Es wird sich daher fortan empfehlen, den Stab auch in der Richtung nach dem Magnete zu mit einer mikrometrischen Bewegung zu versehen.

Läßt man jetzt den Magnet aus sehr hohen Ablenkungen, weit über die Grenzen der Theilung hinaus, fallen, so wird

---

einer concentrischen, cylindrischen Höhlung von solcher Weite durchbohrt, daß der 20<sup>mm</sup> im Durchmesser haltende Magnet-Spiegel oder -Ring darin eben frei spielt. Vergl. übrigens Wiedemann, Die Lehre vom Galvanismus u. s. w. Braunschweig 1863. Bd. II. S. 198. §. 181.

<sup>1)</sup> S. meine: Beschreibung einiger Vorrichtungen und Versuchsweisen u. s. w. Aus den Abhandlungen der Akademie 1862. Berlin 1863. 4<sup>o</sup>. S. 107.

der Nullpunkt noch mehr oder weniger überschritten. Man bringt es aber, durch ferneres Annähern des Stabes, leicht dahin, daß auch der von  $90^\circ$  fallende Spiegel sich schwingungslos auf den Nullpunkt einstellt. Jenes Überschreiten erklärt sich vermuthlich so, daß bei weit über die Scale hinausgehenden Ablenkungen zwar die Richtkraft langsamer wächst als die Bögen, noch schneller aber die Dämpfung durch die cylindrische Kupferhülse abnimmt, daher der Magnet bei dem  $\xi$ , wo unsere Gesetze merklich zu gelten anfangen, mit einer Geschwindigkeit anlangt, die ihn befähigt, den Nullpunkt zu überschreiten, so lange nicht  $r$  einen gewissen Werth übertrifft (vergl. oben §. VI). Bei einer sphärischen Hülse würde aller Wahrscheinlichkeit nach kein solches Überschreiten stattfinden.

Nähert man den Stab dem Magnet immer mehr, so schlägt der Magnet um. Vorher kommt natürlich der Punkt, wo er völlig astatisch,  $n = 0$  und  $r = \varepsilon$  ist, wo er also durch den oben S. 814 theoretisch abgeleiteten Zustand hindurchgeht, in welchem er sich gleich einem Körper bewegt, dem das umgebende Mittel einen seiner Geschwindigkeit proportionalen Widerstand entgegensetzt. Aus Gründen, die keiner Ausführung bedürfen, vermag die Beobachtung diesen Zustand nicht zu erfassen. Darüber hinaus gehorcht die Bewegung wieder dem durch Gleichung (VII) ausgesprochenen Gesetze, um schließlicly durch den Grenzfall (XIV) hindurch von Neuem periodisch zu werden.

Wir werden im Folgenden den Begriff der Beruhigungszeit des Magnetes brauchen. Es ist die Zeit, welche verfließt vom Augenblicke, wo der abgelenkte Magnet fallen gelassen wird, bis zu dem, wo seine Ablenkung unmerklich, d. h. kleiner als eine bestimmte kleine Gröfse, etwa ein Zehntel Scalenthail, wird. Die Umstände zu kennen, welche diese Zeit verkleinern, ist von praktischer Wichtigkeit. Zu wahrhaft scharfer Messung eignet sich übrigens die Beruhigungszeit nicht; namentlich bei hoher Astasie ist schwer zu sagen, wann die Bewegung ein Ende hat. Da bei gleichem  $t$  die Ablenkung des schwingungslos zum Nullpunkte zurückkehrenden Magnetes  $\xi$  proportional ist (s. oben S. 812. 813), so wächst auch die Be-

ruhigungszeit mit  $\xi$ . Der unten näher zu beschreibende Magnetspiegel I z. B. brauchte bei  $298^{\text{mm}}_5$  Abstand des Hauy'schen Stabes, wo seine Bewegung zuerst aperiodisch schien, von  $\xi = 25^{\text{sc}}$  fallend 4,2, von  $\xi = 500^{\text{sc}}$  fallend 5,2 Secunden zur Beruhigung. Deutlicher wird der Unterschied bei höherer Astasie, wie sie durch Annähern des Stabes erreicht wird, und wobei, wie wir bald näher sehen werden, die Beruhigungszeit auch absolut gröfser ist. Bei  $282^{\text{mm}}_5$ ;  $277^{\text{mm}}_5$  Abstand des Stabes betrug die Beruhigungszeit des von  $\xi = 25^{\text{sc}}$  fallenden Spiegels beziehlich 10,0; 20,0, die des von  $\xi = 500^{\text{sc}}$  fallenden 17,6; 29,6 Secunden.

Wir kehren zu den Bedingungen zurück, unter welchen die Bewegung gedämpfter Magnete aperiodisch wird. Eine zweite Art, unter übrigens gleichen Umständen  $r = 0$  oder reell zu machen, wäre nämlich die Verkleinerung des Trägheitsmomentes  $M$ . Es liegt in der Natur der Dinge, dafs man, ohne besondere Einrichtungen, diese nicht stetig und nicht am sonst fertigen Apparate vornehmen kann. Aber je kleiner  $M$ , je dünner z. B. bei sonst gleicher Gestalt ein Magnetspiegel ist, bei um so kleinerem  $S$ , d. h. bei um so geringerer Astasie wird seine Bewegung aperiodisch. Dies ist einer der Gründe, aus denen weder Gauss, noch sonst Einem der vielen Beobachter, die an gedämpften Magneten mit Spiegelablesung thätig waren, der aperiodische Zustand aufgestofsen ist, da an den nach Göttinger Vorschrift eingerichteten Magnetometern Stäbe von sehr grossem Trägheitsmomente angewendet wurden, und man überhaupt Magnete von kleiner Masse wenig gebraucht hat, weil man die schnellere Abnahme ihrer Intensität fürchtete. Der Gebrauch leichterer Magnete empfiehlt sich aber für gewöhnlich hier deshalb, weil, ganz als ob der Magnet noch schwänge, durch Verkleinerung des Trägheitsmomentes die Beruhigungszeit des aperiodisch sich bewegendes Magnetes verkürzt wird. Setzt man in Gleichung (XIV)

$$\varepsilon = \frac{\alpha}{M},$$

wo  $\alpha$  eine Constante, und differenzirt man nach  $M$ ,

so erhält man für  $\frac{dx}{dM}$  einen positiven Werth:  $x$  ist für gleiche Zeiten um so kleiner, je kleiner  $M$ .

Die Erfahrung bestätigt diesen Schluss. Ich habe den aperiodischen Zustand bisher an drei Magneten beobachtet. Zwei davon sind kreisrunde Stahlspiegel von 20<sup>mm</sup> Durchmesser, deren einer, der schon erwähnte Spiegel I, nur etwa 0<sup>mm</sup>8, der andere, III, etwa 4<sup>mm</sup> dick ist; I wiegt 2<sup>gr</sup>414, III 10<sup>gr</sup>994. Der dritte Magnet, II, ist ein kreisrunder Stahlring von gleichfalls 20<sup>mm</sup> äußerem Durchmesser, der gleichsam aus einem quadratischen Prisma von 2<sup>mm</sup> Seite gebogen ist. Ein Schildpattstäbchen verbindet ihn mit einem dünnen Glasspiegel, dessen dünne Messingfassung sich um die Senkrechte drehen läßt. Das ganze System wiegt 2<sup>gr</sup>517; sein Trägheitsmoment hält nothwendig die Mitte zwischen dem von I und III. Zwar gehört der Ringmagnet zu einer anderen Bussole als die beiden Magnetspiegel, da aber die Dämpfer beider Bussolen wesentlich gleich sind, lassen die Beobachtungen in beiden sich wohl vergleichen. In der folgenden Tabelle ist  $l = \lambda m$  das logarithmische Decrement in Briggs'schen Logarithmen, deren Modul  $m$ ;  $\mathfrak{T}_0$  und  $\mathfrak{T}_m$  sind in Secunden die Beruhigungszeiten der Magnete beziehlich ohne Haüy'schen Stab und mit Stab;  $A'$  ist in Millimetern die Entfernung des Stabes, bei der die Bewegung aperiodisch wurde: bei dieser Bestimmung wurde in beiden Bussolen derselbe Stab angewendet.

$$\xi = 450^{\text{se.}}$$

Magnet	Ohne Stab		Mit Stab, $\varepsilon = n$		$A'$	$\mathfrak{T}_0 - \mathfrak{T}_m$
	$l$	$\mathfrak{T}_0$	$l$	$\mathfrak{T}_m$		
I	0,72	6,8	$\infty$	5,2	298,5	1,6
II	0,45	11,2	$\infty$	8,8	280,5	2,4
III	0,38	22,1	$\infty$	17,5	277,0	4,6

Das logarithmische Decrement des Magnetes I ist das größte, welches meines Wissens bisher beobachtet wurde. Wie man sieht, wächst auch an der Grenze der periodischen und der aperiodischen Bewegung die Beruhigungszeit der Magnete schnell mit ihrem Trägheitsmoment, und in einem umgekehrten Verhältniß zu diesem steht die Entfernung, bis zu welcher der Haüy'sche Stab genähert werden muß, um die Schwingungslosigkeit herbeizuführen.

§. XI. Die Beruhigungszeit des gedämpften Magnetes in ihrer Abhängigkeit von dessen verschiedenen, im Vorigen betrachteten Zuständen.

Über den Einfluß der Dämpfung auf die Beruhigungszeit des Magnetes lernten wir schon eine Andeutung von Gauss kennen. Er sagt (s. oben S. 808), daß „die Annäherung an den Ruhestand wieder langsamer geschieht, sobald  $\varepsilon$  den Grenzwert  $n$  überschreitet.“ Setzt man in Gleichung (IX) oder (X)  $t = NT_1$ , wo  $N$  die Zahl der Schwingungen,  $T_1$  die Schwingungsdauer des gedämpften Magnetes bedeuten, so ist

$$x_{\max} = \xi \cdot e^{-\varepsilon NT_1}$$

der Ausdruck für die mit wachsendem  $N$  abnehmenden Amplituden des von  $\xi$  fallenden Magnetes.  $T_1$  ist  $= \frac{\pi}{\sqrt{n^2 - \varepsilon^2}}$  [(XXI), S. 816], und wächst mit  $\varepsilon$ . Denkt man sich zwei solche Werthe von  $N$  und von  $\varepsilon$ , daß  $NT_1 = N'T'_1$ , so wird die kleinere Amplitude zum größeren  $\varepsilon$  und kleineren  $N$  gehören: die Beruhigungszeit des noch schwingenden Magnetes nimmt mit wachsendem  $\varepsilon$  ab. Differenzirt man ferner Gleichung (VII)

nach  $\varepsilon$ , so findet man  $\frac{dx}{d\varepsilon}$  positiv für jeden Werth von  $t > 0$ : die Beruhigungszeit des schwingungslosen Magnetes nimmt also mit wachsendem  $\varepsilon$  zu; und somit ist die Gauss'sche Bemerkung erwiesen.

Diese Bemerkung paßt jedoch nicht auf unseren Fall. Denn während Gauss nur an ein Wachsen von  $\varepsilon$  durch Vergrößerung der dämpfenden Metallmenge dachte, verkleinern wir  $n$ , zugleich aber in geringerem Maße  $\varepsilon$ , ohne das Verhältniß zu kennen, in welchem letzteres geschieht. Betrachten wir zunächst den aperiodischen Zustand, und berücksichtigen wir allein die durch Verkleinern von  $n$  bewirkte Vergrößerung von  $r$ , indem wir Gleichung (VII) nach  $r$  differenziren, so ergibt sich  $\frac{dx}{dr}$  für jeden Werth von  $t > 0$  als positiv. Von dem Grenzfall  $r = 0$  an also bis zu  $r = \varepsilon$  wächst  $x$  für ein gegebenes  $t$ , oder es findet die Annäherung an die Ruhelage um so langsamer statt, je kleiner  $n$ , bis endlich der völlig astatische

Magnet überall stehen bleibt (vergl. oben S. 814). Berücksichtigen wir nun auch die Verkleinerung von  $\varepsilon$ , so wird zwar durch diese den Einfluß des Wachsens von  $r$  insofern etwas vermindert, als  $r$  selber dadurch langsamer wächst. Setzen wir aber  $r$  constant, und differenziren (VII) nach  $\varepsilon$ , so ergibt sich  $\frac{dx}{d\varepsilon}$  diesmal als negativ für jeden Werth von  $t > 0$ . Die mit der Verkleinerung von  $n$  verbundene Verkleinerung von  $\varepsilon$ , soweit es nicht unter dem Wurzelzeichen steht, wirkt also mit jener in gleichem Sinne, d. h. vergrößernd auf  $x$ , und demgemäß lehrt die Erfahrung, daß mit abnehmender Entfernung  $A$  des Haüy'schen Stabes die Beruhigungszeit schnell zunimmt. So war z. B. bei Magnet I für  $\xi = 450^{\text{sc}}$  und

für $A = A' = 298,5$	$\mathfrak{T}_m = 5,2$
für $A = 293,5$	" " 8,0
" " " 288,5	" " 12,0
" " " 283,5	" " 16,4
" " " 278,5	" " 24,4
" " " 273,5	" " 40,0 ;

bei weiterer Annäherung wurde der Magnet unstet und schlug um. Bei Magnet III war

für $A = A' = 277,0$	$\mathfrak{T}_m = 17,5$
für $A = 272,0$	" " 40,0.

Darüber hinaus war keine Messung mehr ausführbar. Diese Zahlen zeigen auf's Neue, wie der leichte Spiegel schon bei geringer Astasie aperiodisch wird, während beide Spiegel bei ungefähr derselben Nähe des Stabes aufhören brauchbar zu sein; woraus sich für den leichten Spiegel ein ungleich größerer benutzbarer Spielraum aperiodischer Astasie ergibt als für den schweren.

Ist die Bewegung noch periodisch, so kann man dieselbe Betrachtung anstellen, wie oben. Die abnehmenden Amplituden haben wieder zum Ausdruck

$$x = \xi \cdot e^{-\varepsilon N t} = \xi \cdot e^{-\frac{\varepsilon N \pi}{\sqrt{n^2 - \varepsilon^2}}},$$

allein der Exponent verändert sich jetzt so, daß  $n$  kleiner wird, während auch  $\varepsilon$ , nur in viel geringerem Maße, abnimmt. Denkt man sich wieder zwei solche Werthe von  $N$ , und von  $n$

und  $\varepsilon$ , daß  $NT_1 = N'T'_1$ , so wird diesmal die kleinere Amplitude dem größeren  $N$  entsprechen. Annäherung des Stabes müßte zur Folge haben, daß der Magnet langsamer schwänge, und daß zugleich seine Amplituden etwas langsamer abnehmen: seine Beruhigungszeit müßte durch den Einfluß des Stabes etwas größer werden.

So sicher dieser Schluß erscheint, so straft ihn doch die Erfahrung Lügen. Die Spalte  $\mathfrak{T}_o - \mathfrak{T}_m$  der Tabelle auf S. 837 zeigt, daß vielmehr die Beruhigungszeit des eben schwingungslos gewordenen Magnetes um keinen geringen Bruchtheil kleiner ausfällt als die des nicht astasirten. Den Grund dieser Abweichung suche ich in dem Widerstand der Luft. Da dieser mit der Geschwindigkeit wächst, so muß die dadurch bewirkte Verzögerung im Falle von Schwingungen größer sein als bei schwingungsloser Rückkehr zum Nullpunkte, gleiche Beruhigungszeit in der Luftleere und gleiche Fallhöhe vorausgesetzt. Man könnte einwenden, daß dann der Unterschied  $\mathfrak{T}_o - \mathfrak{T}_m$  bei dem schweren Spiegel verhältnißmäßig kleiner sein müßte als bei dem leichten, wovon eher das Gegentheil zutrifft. Allein der Hauptsitz des Luftwiderstandes ist unstreitig der ringförmige Spalt zwischen Spiegelrand und Dämpfer, und dieser Spalt ist bei dem schweren, dicken Spiegel, wenn auch nicht überall gleich eng, fünfmal so lang als bei dem leichten, dünnen Spiegel. Trotz der gleichen Größe und Gestalt der Flächen beider Spiegel erfährt also der dickere einen größeren Widerstand, und der Unterschied der Widerstände ist vermuthlich so groß, daß er den Unterschied der Massen überwiegt. Versuche zur Prüfung dieser Hypothese habe ich noch nicht angestellt. Wie dem auch sei, für den Gebrauch ergibt sich, daß der Zustand der eben eingetretenen Schwingungslosigkeit des Magnetes zugleich den Vortheil der kleinsten Beruhigungszeit gewährt, welche die angewandten Vorrichtungen gestatten.

## §. XII. Bestätigung der für den Fall einer Anfangsgeschwindigkeit theoretisch gefundenen Bewegungsgesetze aperiodischer Magnete.

Läßt man auf den aperiodisch sich bewegenden Magnet einen beständigen Strom von längerer Dauer wirken, der ihn

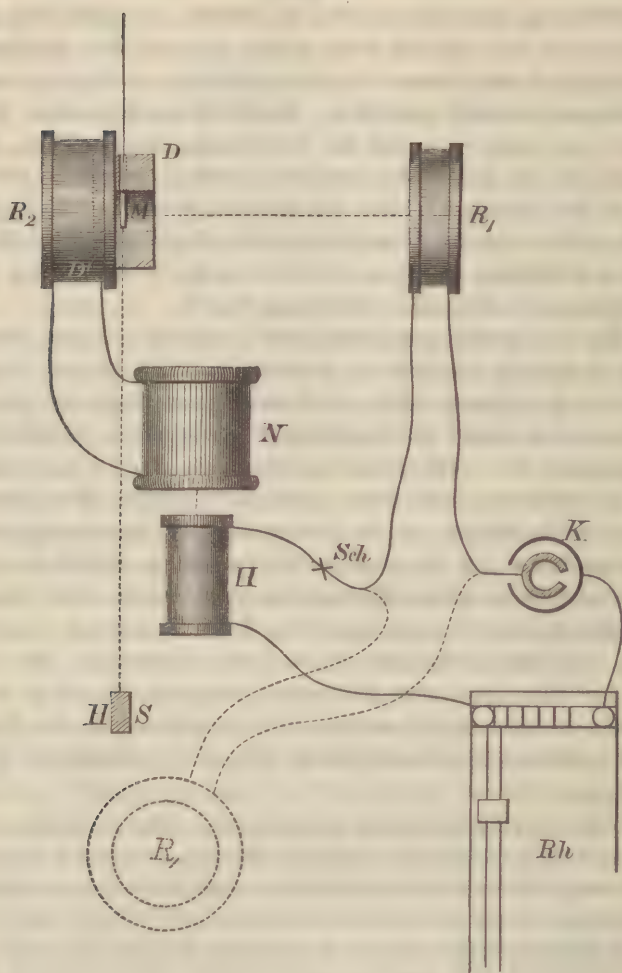
innerhalb der Grenzen der Theilung, d. h. bei 2300<sup>mm</sup> Abstand der Scale vom Spiegel um etwa 7° ablenkt, so sieht man ihn in derselben Art, wie er beim Fallen sich auf den Nullpunkt begiebt, sich der neuen Gleichgewichtslage zu bewegen und schwingungslos dort einstellen. Doch ist zu bemerken, daß wenn  $\varepsilon$  nur eben  $= n$  und die Ablenkung sehr groß ist, der Magnet sie um 2—3<sup>se</sup> überschreitet, obschon er von ihr herabfallend den Nullpunkt ohne Schwingung erreicht. Auch dies rührt wohl, wie das Überschreiten des Nullpunktes bei übergroßen Fallhöhen (s. oben S. 835) von der Verminderung der Dämpfung mit steigender Ablenkung her.<sup>1)</sup>

Um die Anfangsgeschwindigkeit  $c$  sowohl wie die Ablenkung  $\xi$  gehörig abzustufen zu können, traf ich die in Fig. 4 sichtbare Anordnung. Hier ist  $M$  der Magnetspiegel an seinem Faden und in seiner im Durchschnitt gezeichneten dämpfenden Kupferhülse  $DD'$ ,  $HS$  der Durchschnitt des Hauy'schen Stabes,  $K$  die Grove'sche Kette,  $Sch$  ein Schlüssel,  $Rh$  ein Rheochord,  $H$  die Haupt-,  $N$  die Nebenrolle eines Schlitteninductorioms größerer Art,  $R_1$  eine der Thermorollen, endlich  $R_2$  eine der gewöhnlichen feinen Hydrorollen der Bussole. Die Theile der Anordnung, die eine merkliche Fernwirkung auf einander üben, sind durch punktirte gerade Linien verbunden. Die von Mitte zu Mitte gemessene Entfernung zwischen  $H$  und  $N$  nennen wir  $B$ . Bei geschlossenem Schlüssel  $Sch$  hält die Rolle  $R_1$  den Magnet abgelenkt; durch Öffnen des Schlüssels läßt

---

<sup>1)</sup> Da das Überschreiten der Ablenkung nicht mehr stattfindet, wenn  $\varepsilon$  merklich  $> n$ , so wird es wenigstens sehr unwahrscheinlich, daß die Erscheinung auf einer Unbeständigkeit der angewandten Grove'schen Kette beruht, woran man nach den Erfahrungen der HH. Edlund und Rijke (Poggendorff's Annalen u. s. w. 1849. Bd. LXXVII. S. 182; — 1857. Bd. CII. S. 508) über die größere Stärke der Schließungs- im Vergleich zur Öffnungs-Induction auch bei den sogenannten beständigen Ketten deshalb hätte denken können, weil meine Hilfsmittel gestatten, durch die Ablenkung der Magnethülse den Zustand der Kette nach der Schließung früher zu beobachten, als dies wohl je möglich war. Für diese Deutung liefse sich freilich noch immer sagen, daß bei  $\varepsilon > n$  die Zeit, innerhalb der die Beobachtung geschieht, vergrößert wird (s. oben S. 839).

Fig. 4.



man den Magnet fallen, und ertheilt ihm zugleich eine Anfangsgeschwindigkeit im Sinne der Richtkraft durch den in  $N$  inducirten Nebenstrom, dem dazu die passende Richtung zu geben ist. Die Ablenkung sowohl wie der Stromstoß läßt sich auf doppelte Art regeln, jene durch das Rheochord und durch Verschieben der Rolle  $R_1$ , diese durch Verschieben der

Rollen  $N$  und  $R_2$ ; abgesehen von dem Einlegen von Drähten in  $II$ , welches aus gleich zu erwähnenden Gründen zu vermeiden ist. So gelingt es leicht, eine hinlängliche Anfangsgeschwindigkeit zu erzeugen, damit auch bei  $\varepsilon > n$  der Nullpunkt überschritten werde; von der jenseitigen Ablenkung kehrt der Magnet schwingungslos zum Nullpunkte zurück. Außerdem bietet die dargestellte Anordnung auch Gelegenheit, unsere Formeln etwas schärfer auf die Probe zu stellen.

Dazu bringt man zuerst die Rolle  $R_1$  in solche Lage, daß der Magnet keine merkliche Wirkung mehr von ihr erfährt, wie dies in der Figur durch die punktirte Leitung und Rolle  $Sch R_1 K$  angedeutet ist. Die Rolle  $II$  hat gleichfalls, diese aber dauernd, solche Lage, daß sie nicht merklich auf den Magnet wirkt. Zweitens entfernt man  $N$  von  $II$  so weit, daß beim Schließen und Öffnen bei  $Sch$  der Spiegel unbewegt bleibt. Jetzt bringt man  $R_1$  wieder in solche Lage, und ertheilt dem Strom durch das Rheochord solche Stärke, daß der Spiegel bis an die Grenzen der Scale abgelenkt wird. Indem man ihn aus stets gleicher Höhe durch Öffnen bei  $Sch$  öfter fallen läßt, sucht man die Entfernung des Haüy'schen Stabes  $A'$  auf, bei der die Bewegung des Magnetes eben aperiodisch, oder  $\varepsilon = n$  ist. Diese Entfernung muß nach Herstellung der beschriebenen Anordnung von Neuem bestimmt werden, auch wenn  $\varepsilon$  schon früher  $= n$  gemacht worden war, weil zur Dämpfung durch die Kupferhülse jetzt noch die durch die Rolle  $R_2$  tritt, daher fortan die Rolle  $R_2$  nicht mehr von der Stelle gerückt werden darf. Auch die Rolle  $R_1$  erhält von hier ab, sofern sie nicht in die unwirksame Lage gebracht wird, eine unveränderliche Stellung, und die Veränderung der Ablenkung  $\xi$  wird allein mittels des Rheochords bewirkt. Dämpfung sowohl als secundäre Induction im Hauptkreise sind zwar dadurch ausgeschlossen, daß man, der Natur der Dinge nach, mit dem Öffnungsschlage arbeitet; jene Maßnahme hat aber ihren Grund darin, daß die Ablenkung  $\xi$  die Stromstärke in dem Kreise  $KR_1 Sch II Rh K$  messen soll.

Sind diese Vorbereitungen getroffen, so kann man zu folgenden zwei Versuchen schreiten.

## Versuch I.

Bei irgend einer, durch das Rheochord willkürlich bestimmten Ablenkung  $\xi$  nähert man die Nebenrolle zuerst der Hauptrolle soweit, daß beim Öffnen der Kette der Magnet den Nullpunkt nur eben um die kleinste bemerkbare Gröfse überschreitet; diese Entfernung der Nebenrolle von der Hauptrolle heiße  $B'$ . Alsdann gilt sehr genau (s. oben S. 819 ff.) die Gleichung

$$c = \varepsilon \xi.$$

Es ist aber in unserem Falle  $c$  sichtlich proportional  $\xi$ ; denn die Elektrizitätsmenge, die sich in einem voltaelektrischen Nebenstrom abgleicht, ist der Stärke des Hauptstromes proportional<sup>1)</sup>, und für eben dieser Stärke merklich proportional dürfen wir die Ablenkungen des Magnetes nehmen. Man hat also auch  $c = a\xi$ , wo  $a$  eine Constante, folglich  $a = \varepsilon$  unabhängig von  $\xi$ , und demgemäfs kann man, wenn einmal  $B'$  für ein beliebiges  $\xi$  gefunden ist,  $\xi$  durch das Rheochord fortan beliebig verändern: gleichviel von wo der Magnet falle, stets überschreitet er den Nullpunkt nur eben um die kleinste bemerkbare Grösse.

Es versteht sich beiläufig von selbst, und Rechnung wie Beobachtung ergeben, daß dabei die Beruhigungszeit kleiner wird als ohne Anfangsgeschwindigkeit.

## Versuch II.

Nachdem dieser Zustand erreicht ist, bringt man, bei einem beliebigen  $\xi$ ,  $B_1$  in die unwirksame, in der Figur punktirte Lage, und wiederholt den Versuch. Jetzt trifft der Inductionstofs, der vorher den Magnet bei  $\xi$  traf, den Magnet auf dem Nullpunkt; es erfolgt ein Ausschlag im umgekehrten Sinne von der Ablenkung  $\xi$ ; die Gröfse dieses Ausschlages heiße  $x$ . Man hat

---

<sup>1)</sup> Es dürfen sich deshalb keine Drähte in der Hauptrolle befinden. Versuche, die ich in dieser Art mit einem kleineren Schlitteninductorium angestellt hatte, mußten verworfen werden, indem sich dabei von dem erwarteten, und wie man sehen wird, richtigen Gesetze Abweichungen ergaben, welche sich aus der Annahme erklären liefsen, daß die in den Inductionsströmen sich abgleichenden Elektrizitätsmengen schneller wuchsen als die Stärken der inducirenden Ströme. Vergl. Wiedemann, Die Lehre vom Galvanismus u. s. w. Braunschweig 1863. Bd. II. S. 297.

$$x = x_{max} = \frac{c}{ze}$$

[(XXXIV), S. 828]. Abermals ist  $c$  proportional  $\xi$ , also  $\xi = \text{const} \times x$ , gleichviel wie  $\xi$  gewählt wird.

Die folgenden Tabellen zeigen das Ergebniss der Versuche, die ich zur Prüfung dieses Schlusses anstellte. Die Zahlen  $\xi_c$  in der ersten Spalte jeder Tabelle sind erhalten, indem ich mittels des Rheochords die Ablenkung von 25<sup>se</sup> bis 500<sup>se</sup> stets um 25<sup>se</sup> steigerte; sie sind das Mittel aus zwei Ablesungen vor und nach zehn Ablesungen von  $x_b$ ; die abgelesenen Tangenten der doppelten Ablenkung sind in die doppelten Tangenten der einfachen Ablenkung verwandelt. Die Zahlen  $x_{mc}$  sind das ebenso corrigirte Mittel aus jenen zehn  $x_b$ ; die Spalte  $x_m - x_b$  zeigt die grösste, positive oder negative Abweichung des beobachteten nicht corrigirten  $x_b$  vom mittleren nicht corrigirten  $x_m$ , welche in einem solchen Satze vorkam. Man sieht, dass diese Abweichung sich höchstens auf 0<sup>se</sup>85 beläuft. Die Constante ist nach der Methode der kleinsten Quadrate berechnet; die Zahlen  $x_r$  sind durch Division von  $\xi_c$  mit der Constanten erhalten. Obschon  $x$  bis zu 183<sup>se</sup> hinaufgeht, belaufen sich die Abweichungen  $x_r - x_{mc}$  nie auf mehr als den Bruchtheil eines Scalentheiles, mit einer einzigen Ausnahme (Versuch 15 in Tab. 1), wo ein gröfserer Fehler durch irgend einen Zufall begangen wurde, wie er bei einer Versuchsreihe, die sich über viele Stunden erstreckt, wohl vorkommen kann. Erwägt man die Fehler der gedruckten Theilung, die Unbeständigkeit der Kette und die Erwärmung der Drähte, die Schwankungen der Ruhelage des Magnetes und der Länge des ihn tragenden Fadens, die mangelhafte Einstellung des Fernrohrs bei gröfseren Ablenkungen und die Schwierigkeit des Ablesens gröfserer Ausschläge, den Widerstand der Luft, endlich die unsichere Aufstellung meiner Apparate in dafür ganz ungeeigneten Räumen, so darf die erlangte Übereinstimmung gewifs für höchst befriedigend gelten. Die Regelmässigkeit in der Vertheilung der Zeichen der Fehler, wonach die gröfseren  $x_{mc}$  im Allgemeinen zu klein sind, rührt wohl davon her, dass die Ablenkungen nicht unserer Voraussetzung entsprechend den Stromstärken genau proportional sind,

Tabelle I.  $A' = 296 \text{ mm}^5$ ,  $B' = 47 \text{ mm}$ 

	$\xi_c$	$X_{mc}$	$X_m - X_b$	$X_f$	$X_f - X_{mc}$
1	25.00	9.30	0.00	9.27	-0.03
2	49.99	18.67	-0.60	18.53	-0.14
3	75.10	27.94	-0.14	27.84	-0.10
4	99.95	37.30	+0.30	37.04	-0.25
5	125.10	46.80	+0.20	46.36	-0.43
6	150.19	56.23	+0.45	55.67	-0.57
7	175.25	65.24	+0.25	64.95	-0.29
8	199.60	74.70	+0.22	73.98	-0.72
9	225.46	83.73	+0.35	83.56	-0.17
10	249.26	92.89	0.00	92.38	-0.51
11	275.52	102.06	-0.19	101.74	-0.32
12	300.20	111.64	-0.85	111.26	-0.38
13	324.63	120.96	-0.56	120.32	-0.64
14	349.77	129.20	+0.50	129.63	+0.44
15	370.46	135.99	-0.23	137.30	+1.31
16	397.02	146.82	+0.17	147.15	+0.33
17	421.86	156.42	+0.47	156.35	-0.06
18	447.28	165.88	-0.55	165.78	-0.11
19	470.91	174.05	+0.70	174.53	+0.48
20	494.47	183.21	+0.50	183.27	+0.06

Const = 2.698120

Tabelle II.  $A' = 297 \text{ mm}^5$ ,  $B' = 52 \text{ mm}$ 

	$\xi_c$	$X_{mc}$	$X_m - X_b$	$X_f$	$X_f - X_{mc}$
1	25.00	9.00	0.00	8.90	-0.10
2	50.50	17.92	+0.12	17.98	+0.06
3	75.20	27.00	0.00	26.77	-0.23
4	99.65	35.42	+0.38	35.47	+0.06
5	124.91	44.66	+0.16	44.46	-0.19
6	149.67	53.30	-0.38	53.28	-0.02
7	174.45	62.75	+0.46	62.10	-0.65
8	199.47	71.67	+0.60	71.01	-0.66
9	224.99	80.38	-0.53	80.09	-0.28
10	249.11	89.05	+0.28	88.68	-0.37
11	274.39	98.01	+0.26	97.68	-0.33
12	299.48	106.85	+0.71	106.61	-0.24
13	324.70	116.09	+0.85	115.59	-0.50
14	349.28	125.01	+0.26	124.34	-0.67
15	372.79	132.87	-0.22	132.71	-0.16
16	398.64	141.69	+0.52	141.91	+0.22
17	422.22	149.63	+0.38	150.30	+0.67
18	447.48	159.22	+0.50	159.29	+0.08
19	469.57	166.56	+0.78	167.15	+0.59
20	493.07	174.77	+0.20	175.52	+0.75

Const = 2.809127

sondern ein etwas abweichendes, und zwar für die beiden Rollen  $R_1$  und  $R_2$ , wegen ihrer verschiedenen Entfernung vom Spiegel, verschiedenes Gesetz befolgen. Nicht einmal die Richtkraft verändert sich genau proportional dem Sinus der Ablenkung, weil der Hauy'sche Stab, wenn auch um beinahe 300<sup>mm</sup> entfernt, den Magnet doch nicht mit streng parallelen Kräften angreift.

Wir wollen jetzt noch der Constanten selber in unserer durch den Versuch bewiesenen Gleichung  $\xi = \text{const} \times x$  unsere Aufmerksamkeit zuwenden. Aus  $c = \varepsilon \xi$  und  $x = \frac{c}{\varepsilon e}$  folgt  $\text{const} = e$ , und man hat also die merkwürdige Beziehung

$$\frac{\xi}{x} = e.$$

Würde  $\xi = e^2$  gemacht, so müßte sich  $x = e$  ergeben; man würde unmittelbar die Basis der natürlichen Logarithmen ablesen. Dies bestätigt sich in der That.

In unserer Versuchsreihe I ist die Constante = 2,69812,

in Reihe II ist sie = 2,80913;

Mittel = 2,75362.

Es ist  $e = 2,71828$ ;

der Fehler des Mittels ist also nur = 0,03534.

$\varepsilon^2$  ist 7,3890; wählt man als Einheit das Centimeter = 10<sup>sc</sup>, und macht man  $\xi = 7,39$ , so muß  $x = 2,72$  sein.<sup>1)</sup> Ich stellte eine Anzahl solcher Prüfungen an, indem ich jedesmal von Neuem  $A'$  und das zugehörige  $B'$  bestimmte. Die Ergebnisse dieser Versuche, nach abnehmenden Entfernungen des Hauy'schen Stabes geordnet, zeigt folgende Tabelle in den Versuchen 1—4; Versuch 5 und 6, wo der Stab absichtlich zu nah war, wurden hinzugefügt, um das in der Reihe sich kundgebende Gesetz noch deutlicher hervortreten zu lassen.

<sup>1)</sup> Da man die Tangente der doppelten Ablenkung abliest, ist eigentlich  $\xi = 7,39095$  zu machen, und sollte  $x = 2,71838$  sein, doch fällt der Unterschied, wie nicht bemerkt zu werden braucht, weit innerhalb der Grenze der Beobachtungsfehler.

Nr.	$A'$	$B'$	$x$	const
1	298,5	63	2,26	3,270
2	297,5	53	2,63	2,810
3	297,0	48	<b>2,72</b>	<b>2,717</b>
4	296,5	46	2,74	2,700
$A$				
5	295,0	28	3,12	2,369
6	293,5	4	3,53	2,094

Bei den Versuchen 2 und 4 hatte ich fast genau die Bedingungen der in Tabelle II und I enthaltenen Versuchsreihen wieder getroffen. Man sieht, daß ich von dem äußersten Werthe von  $A$ , wo mir schien, als sei die Bewegung aperiodisch, den Stab nur um anderthalb Millimeter mehr, d. h. um  $1\frac{1}{3}$  seines Abstandes, zu nähern hatte, um das theoretisch vorhergesehene Ergebniss zu erhalten. Erwägt man, daß bei diesen Versuchen die oben S. 834 besprochene Schwierigkeit zu sagen, ob der Nullpunkt noch überschritten werde oder nicht, zweimal auftritt, zuerst bei der Bestimmung von  $A'$ , dann bei der von  $B'$ , so wird man die erlangte Übereinstimmung gewifs als genügend anerkennen.

Die Tabelle zeigt, daß je kleiner  $A$ , oder je näher der Stab dem Magnete, um so größer fällt  $x$ , und um so kleiner  $B'$  und die Constante aus. Der Sinn hiervon ist, daß je weniger Richtkraft dem Magnete gelassen ist, um so größer kann die ihm ertheilte Anfangsgeschwindigkeit sein, ohne daß er den Nullpunkt überschreitet.

Dieser Zusammenhang spricht sich deutlicher aus, wenn man, anstatt  $A$  und  $B$  zugleich, nur die eine oder die andere Entfernung ändert. Läßt man  $A = A'$  beständig, und verkleinert  $B$ , so wird bald der Nullpunkt merklich überschritten,  $x$  wächst, die Constante nimmt ab. Verwickelter ist der Vorgang, wenn man  $B = B'$  beständig läßt, und  $A$  ändert. Wegen  $x = \frac{c}{\varepsilon e}$  (XXXIV) ist zwar  $x$  von  $A$  nur insofern abhängig, als mit  $A$  Intensität des Magnetes, folglich auch Dämpfung und, obschon der Inductionstofs derselbe bleibt, Anfangsgeschwindigkeit sich ein wenig ändern; allein dies ist nicht zu vernachlässigen. Für  $I\tau$  in dem oben S. 827 (XXX) gegebenen Ausdruck

$$c = \frac{\mu I \tau}{M}$$

wollen wir  $P$  setzen, welches den Integralwerth des Inductionsstromes nach Stärke und Zeit vorstellen soll. Den Werth von  $\mu$  entwickeln wir, wie wir dies oben S. 832 mit  $m$  und  $m$  gethan haben, zu  $\mu' \{i + \gamma (H - S)\}$ . Dann ist

$$c = \mu' \{i + \gamma (H - S)\} \cdot \frac{P}{M}. \quad \text{Es ist (XL)}$$

$$\varepsilon = \frac{x m'^2 \{i + \gamma (H - S)\}^2}{2 M},$$

und folglich

$$x = \frac{c}{e \varepsilon} = \frac{2 \mu' \cdot P}{e x m'^2 \{i + \gamma (H - S)\}}$$

Wenn man also, bei beständigem  $B = B'$ ,  $A$  von  $A'$  aus vergrößert, wird  $x$  wegen des abnehmenden  $S$  etwas kleiner, und der Nullpunkt überschritten. Umgekehrt der Nullpunkt wird nur eben erreicht, und  $x$  wächst um ein Geringses, wenn  $A$  von  $A'$  aus verkleinert wird. Dies trifft im Versuch ein; als ich bei  $B' = 48^{\text{mm}}$   $A$  von  $A' = 297^{\text{mm}}$  folgwiese auf 292; 287; 277<sup>mm</sup> verkleinerte, stieg  $x$  von dem ihm willkürlich ertheilten Werthe 40<sup>sc</sup>3 beziehlich auf nur 41,2; 42,7; 46<sup>sc</sup>5.

Übrigens ist zu bemerken, dafs das  $c$  in unserem Versuch II (s. oben S. 845) dem  $c$  in Versuch I nicht genau gleich ist. Denn in Versuch I, wo man  $c = \varepsilon \xi$  macht, wird der Inductionsstofs erzeugt nicht allein durch die Induction von  $H$  auf  $N$ , sondern auch durch die Induction von  $R_1$  auf  $R_2$  und auf den Dämpfer, welche in  $R_2$  und dem Dämpfer die verkehrte Richtung hat von dem durch die Induction von  $H$  auf  $N$  in  $R_2$  erzeugten Strome. Man kann also setzen  $c = \varepsilon \xi = \{p - (q + s)\} \xi$ , wo  $p, q, s$  die Geschwindigkeiten sind, welche, für die Einheit der die Stärke des inducirenden Stromes messenden Ablenkung  $\xi$ , die beziehlich von  $H$  auf  $N$ , von  $R_1$  auf  $R_2$ , und von  $R_1$  auf den Dämpfer ausgeübten Inductionen dem Magnet ertheilen. In Versuch II dagegen erhält der Magnet die Geschwindigkeit  $c' = p \xi$ , und man hat somit statt

$$\frac{\xi}{x} = e, \text{ vielmehr } \frac{\xi}{x} = e \left( 1 - \frac{q+s}{p} \right),$$

d. h. die Constante muß kleiner als  $e$  ausfallen.

Indessen geht aus den Umständen des Versuches hervor, daß der Bruch  $\frac{q+s}{p}$  nur sehr klein sein konnte. Die Rolle  $H$  hat mehrere hundert, die Rolle  $N$  9845 Windungen, während  $R_1$  nur 53 und  $R_2$  nur 6000 Windungen besitzt.  $B'$  war bei dem Versuch 3 der letzten Tabelle, wo sich  $\text{const} = e$  ergab,  $= 48^{\text{mm}}$ , während von Mitte zu Mitte gemessen der horizontale Abstand zwischen  $R_1$  und  $R_2$  400, zwischen  $R_1$  und dem Dämpfer  $380^{\text{mm}}$  betrug. Die Axen von  $R_1$  und die von  $R_2$  und dem Dämpfer lagen aber nicht einmal, wie in der Figur, in einer Geraden, sondern waren einander parallel um etwa  $110^{\text{mm}}$  verschoben. Das Potential der Rollen  $R_1$  und  $R_2$ , und das der Rolle  $R_1$  und des Dämpfers aufeinander, mußten also gegen das Potential der Rollen  $H$  und  $N$  aufeinander nahe verschwinden.

Für die Induction von  $R_1$  auf  $R_2$  ist dies leicht zu zeigen. Dazu wird in den Kreis von  $N$  und  $R_2$  eine dritte Rolle  $R_3$  von gleicher Beschaffenheit mit  $R_2$  (die andere Hydrorolle der Bussole) aufgenommen, und gegenüber der Rolle  $R_1$  in deren unwirksamer Lage so aufgestellt, wie  $R_2$  gegenüber derselben Rolle in deren wirksamer Lage aufgestellt ist. Indem man für ein bestimmtes  $B$  und  $\xi$  die Induction von  $H$  auf  $N$  mit und ohne Rolle  $R_3$ , dann die Induction von  $R_1$  auf  $R_3$  beobachtet, hat man alle Daten, um  $q$  als  $\zeta p$ , wo  $\zeta$  eine Constante, auszudrücken. Es fand sich aber, daß auch bei der größten inducirenden Stromstärke, welche die Anordnung zuließ, d. h. bei völlig gestöpseltem Rheochord,  $q$  neben  $p$  unwahrnehmbar blieb. Was  $s$  betrifft, so läßt sich dies nicht experimentell bestimmen, doch kann man sicher schließen, daß, obschon größer als  $q$ ,  $s$  in Bezug auf  $p$  mit  $q$  von gleicher Ordnung sei. Der Bruch  $\frac{q+s}{p}$  mußte also, wie auch aus der Übereinstimmung unserer Ergebnisse mit der Theorie folgt, nahe  $= 0$  sein.

## §. XIII. Vorzüge der Beobachtung an aperiodischen Magneten.

Man erreicht mittels des hier beschriebenen Verfahrens vollständiger, bequemer und ohne alle Nachtheile dasselbe, was frühere Experimentatoren, Mohr,<sup>1)</sup> Schilling von Canstadt und Lenz,<sup>2)</sup> Draper,<sup>3)</sup> sich vorsetzten, als sie an die nach unten verlängerte Axe des Magnetes Flügel von Platin oder Stanniol hefteten, welche in Öl oder Wasser einen die Schwingungen hemmenden Widerstand erfuhren. Keiner, der einmal am aperiodischen Magnete beobachtet hat, wird ohne besondere Gründe zum schwingenden Magnete zurückkehren, und die klare und ruhige Spiegelung der Vorgänge im Multiplicatorkreise, welche jener gewährt, für das verwirrende Schauspiel des bei jeder Veränderung der Stromstärke hin- und herschießenden Scalenbildes wieder aufgeben, aus dem sich der Sachverhalt stets erst nach lästiger Ungewissheit entwickelt. Indem man mit der Verminderung der Richtkraft möglichst genau da stehen bleibt, wo  $n = \varepsilon$ , oder die Bewegung des Magnetes eben aperiodisch geworden ist, genießt man, wie schon bemerkt, zugleich den Vortheil der schnellsten Beruhigung des Magnetes, welche die angewandten Vorrichtungen gestatten. Von ganz besonderem Nutzen ist der aperiodische Zustand bei dem Compensiren des Stromes zum Zwecke der Messung der elektromotorischen Kraft nach der Poggendorff'schen, von mir abgeänderten Methode, oder des Widerstandes mittels der Wheatstone'schen Brücke. Der schwingende Magnet geräth in Schwankungen, sobald man die Gleichgewichtslage schneller, als der Magnet zu folgen vermag, vor ihm her dem Nullpunkte zu bewegt; der schwingungslose Magnet kann höchstens unter den oben S. 831 bezeichneten Umständen Einen Hin- und Hergang machen, so daß man ohne jedes Tasten, mit stetiger Bewegung, den Nullpunkt auf den Faden einstellen kann. Gute

<sup>1)</sup> Poggendorff's Annalen u. s. w. 1836. Bd. XXXIX. S. 131.

<sup>2)</sup> Ebendas. 1843. Bd. LIX. S. 207; — 1849. Bd. LXXVI. S. 499. S. 500.

<sup>3)</sup> Philosophical Magazine etc. 1839. 3rd Ser. vol. XV. p. 266.

Dienste wird auch diese Methode leisten bei Demonstrationsversuchen vor einer größeren Versammlung, unter Anwendung des von mir beschriebenen Verfahrens, die Ablenkungen durch einen vom Spiegel zurückgeworfenen Lichtstrahl sichtbar zu machen.<sup>1)</sup> Dies Verfahren wurde bekanntlich von Hrn. William Thomson angewandt, um die schwachen Signale des ersten atlantischen Kabels bequem zu beobachten, und noch heute werden die atlantischen Kabel mit sogenannten Thomson'schen Galvanometern bedient, an denen die Ablesung auf jene, zuerst von mir in England gezeigte Art geschieht. Hier, wie überhaupt wo in der Telegraphie Galvanometer in Gebrauch sind, wird die Beseitigung der Schwingungen sich als höchst vortheilhaft erweisen.

Nützlich können endlich in ihrer überraschenden Einfachheit die Formeln (XXXIII) und (XXXIV) werden. Letztere kann an sich dienen, den Integralwerth kurz dauernder Ströme relativ zu bestimmen. Aber auch zur Messung kleiner Zeiträume nach der von Hrn. Helmholtz verbesserten Pouillet'schen Methode<sup>2)</sup> bieten jene Formeln bequeme Gelegenheit, wenigstens wenn man sich eines Magnetes von solchem Trägheitsmomente bedient, daß er eine scharfe Messung von

zuläßt. Ist  $F$  die Ablenkung durch den zeitmessenden Strom in beständiger Gröfse,  $x$  der Ausschlag durch denselben Strom während der kleinen Zeit  $\tau$ , so findet man für diese leicht den Ausdruck

$$\tau = t_{\max} = \frac{1}{\varepsilon} \frac{et}{F} \cdot x.$$

<sup>1)</sup> Poggendorff's Annalen u. s. w. 1855. Bd. XCV. S. 607; — Philosophical Magazine etc. 1856. 4th Ser. vol. XI. p. 109.

<sup>2)</sup> Joh. Müller's Archiv für Anatomie u. s. w. 1850. S. 299; — Wiedemann, Die Lehre vom Galvanismus u. s. w. Braunschweig 1863. Bd. II. S. 236. §. 212.